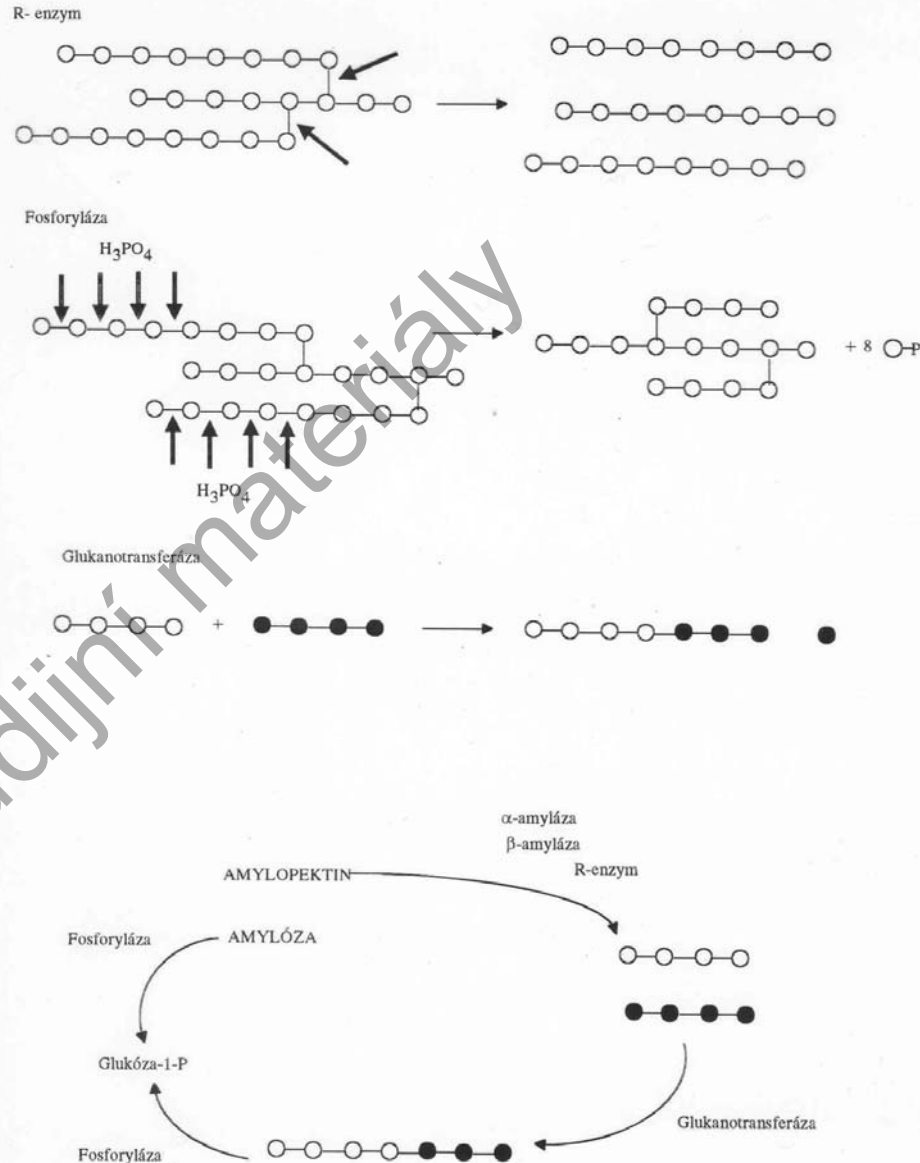


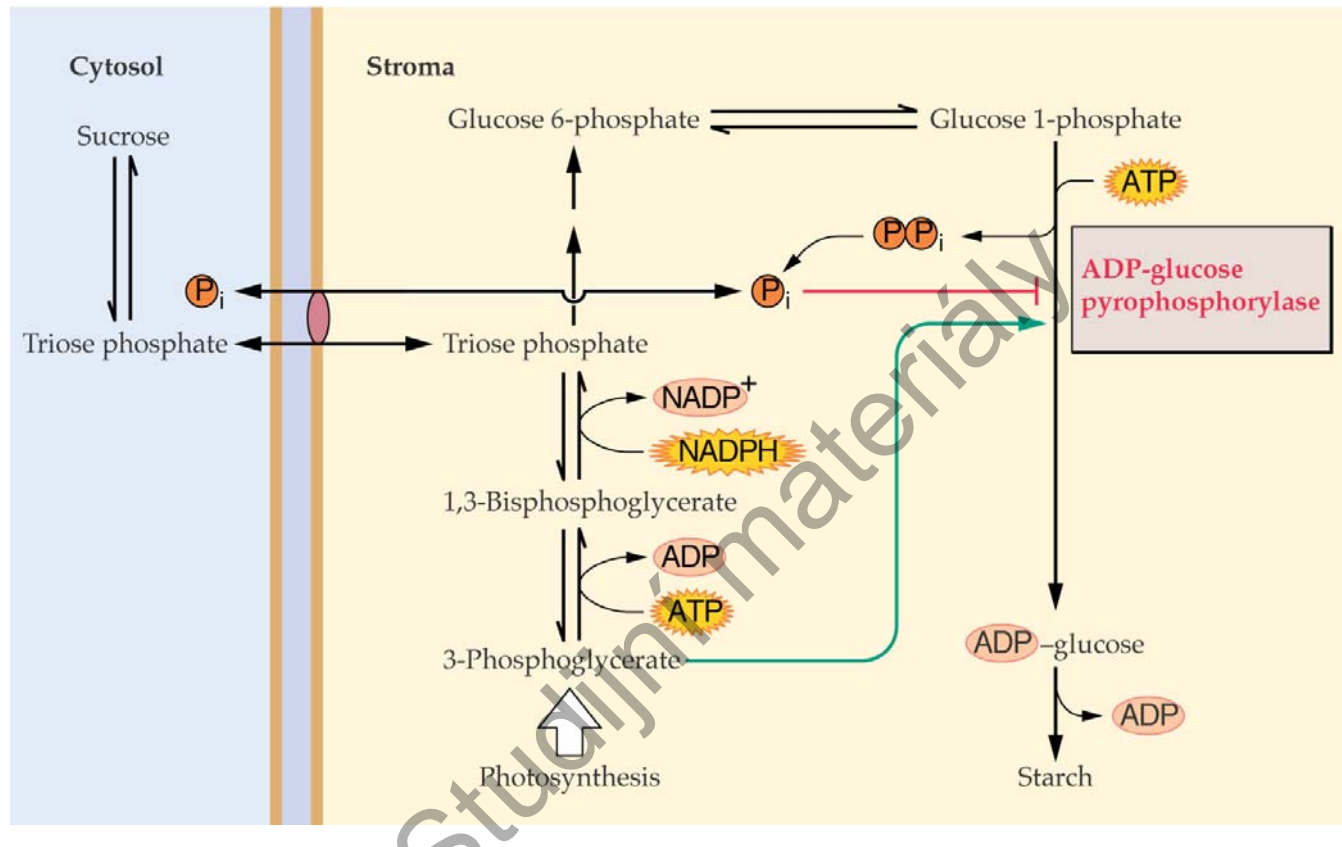
Metabolismus sacharidů

Studijní materiály

Degradace škrobu

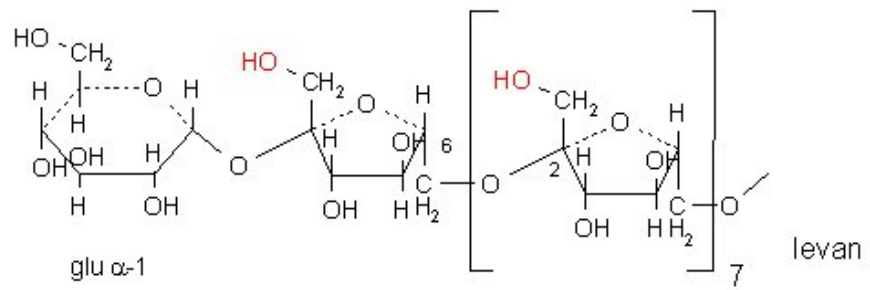
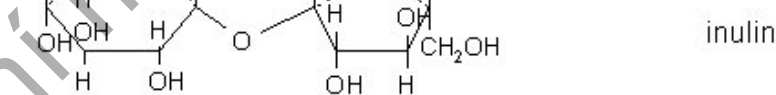
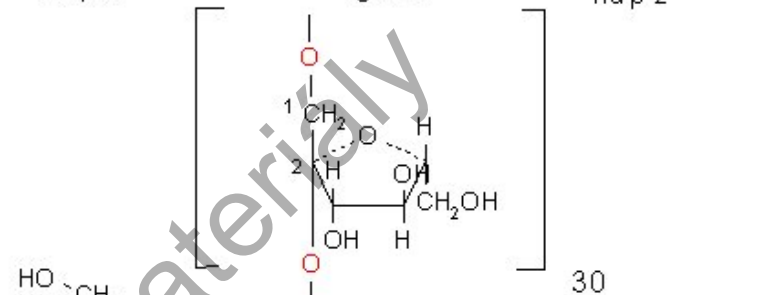
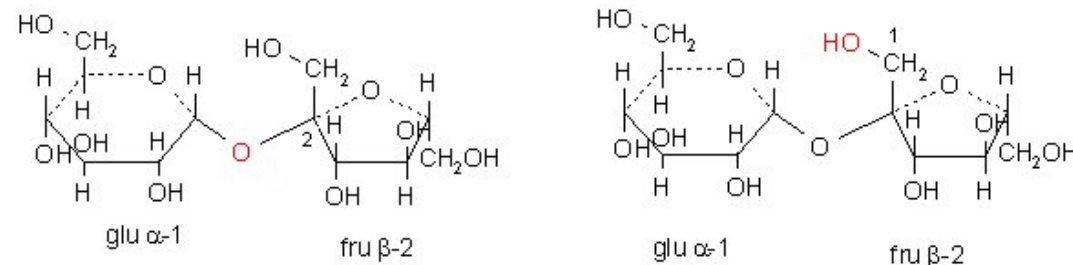
Odbourávání polysacharidů u rostlin

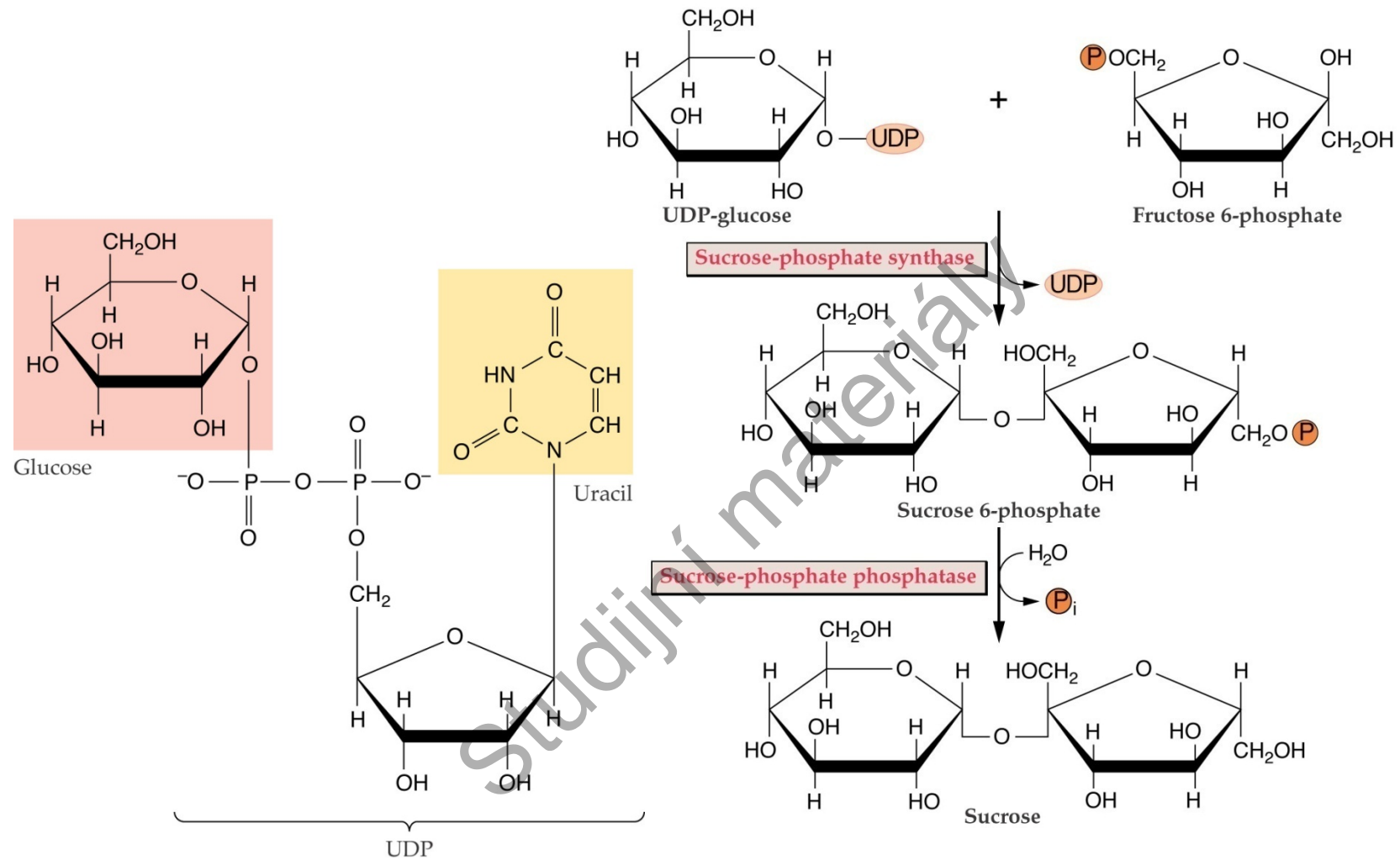




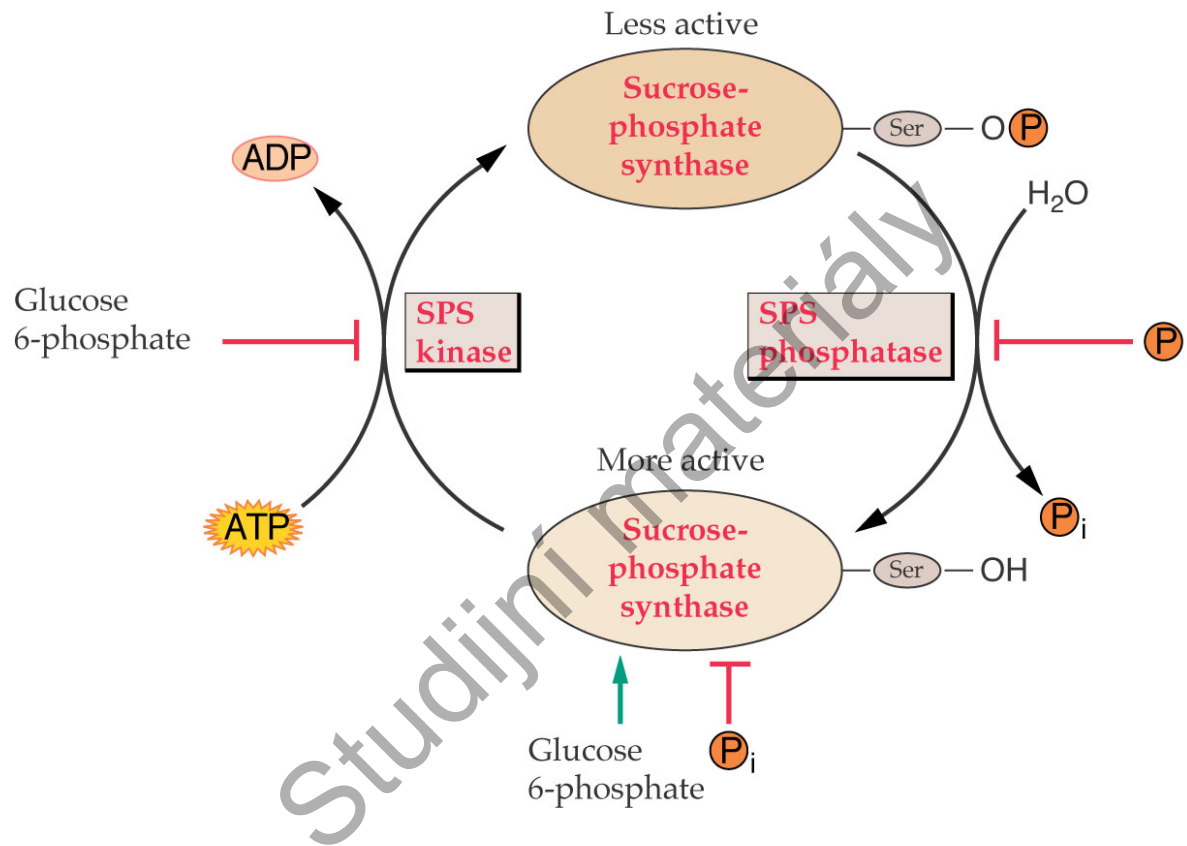
Výměna sacharidů mezi plastidy a cytosolem

Polyfruktosany



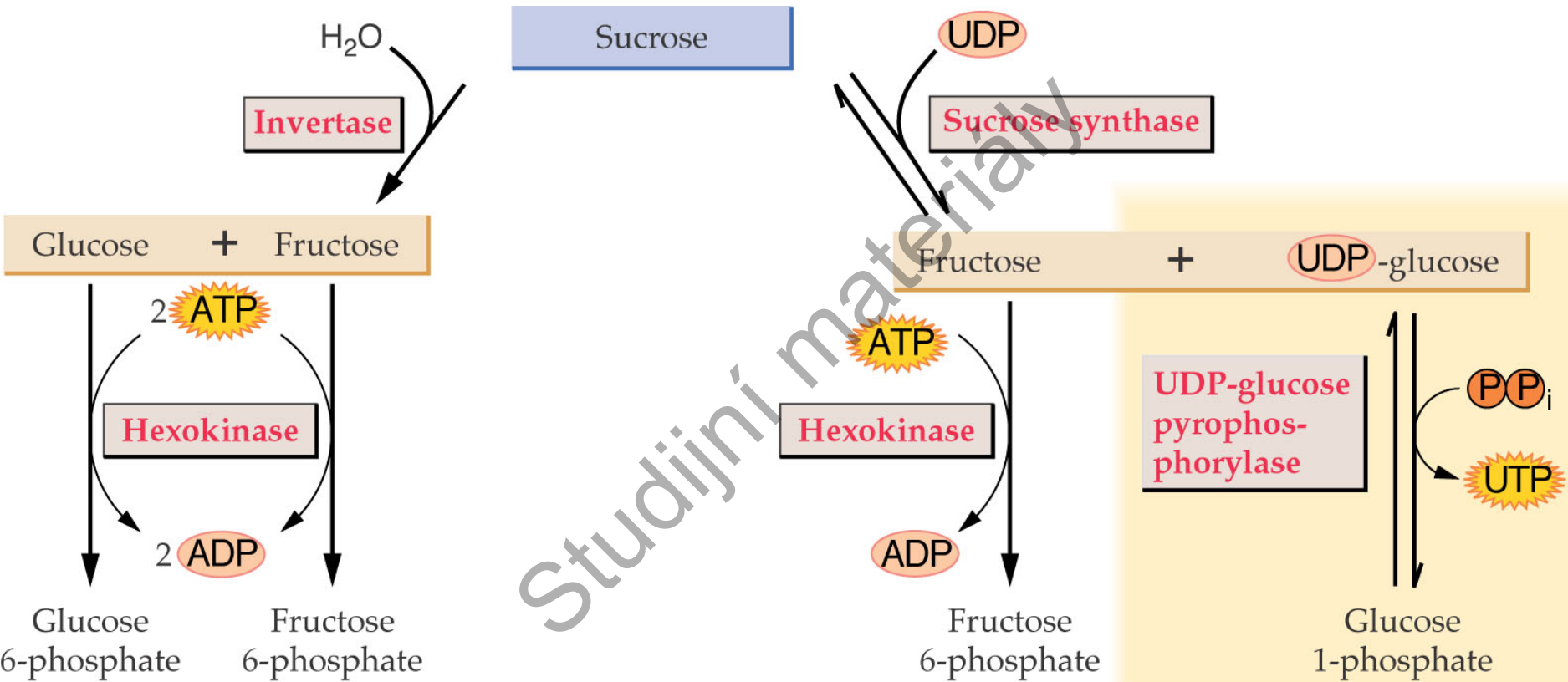


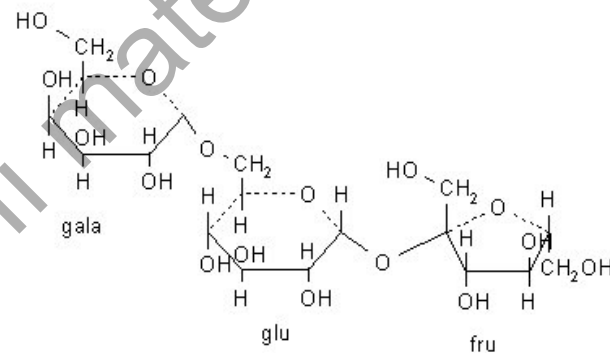
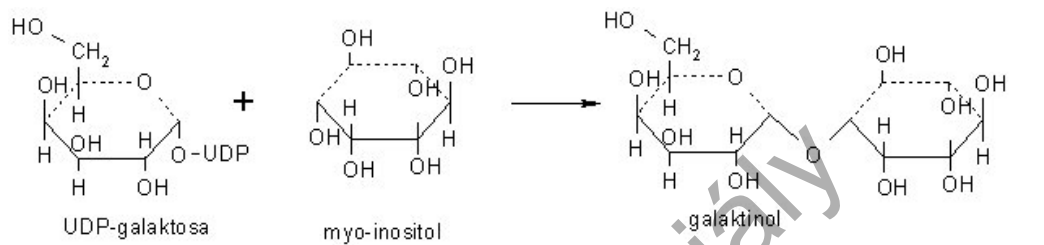
Syntéza sacharosy



Regulace sacharosafosfátsyntasy, pomocí proteinkinasy

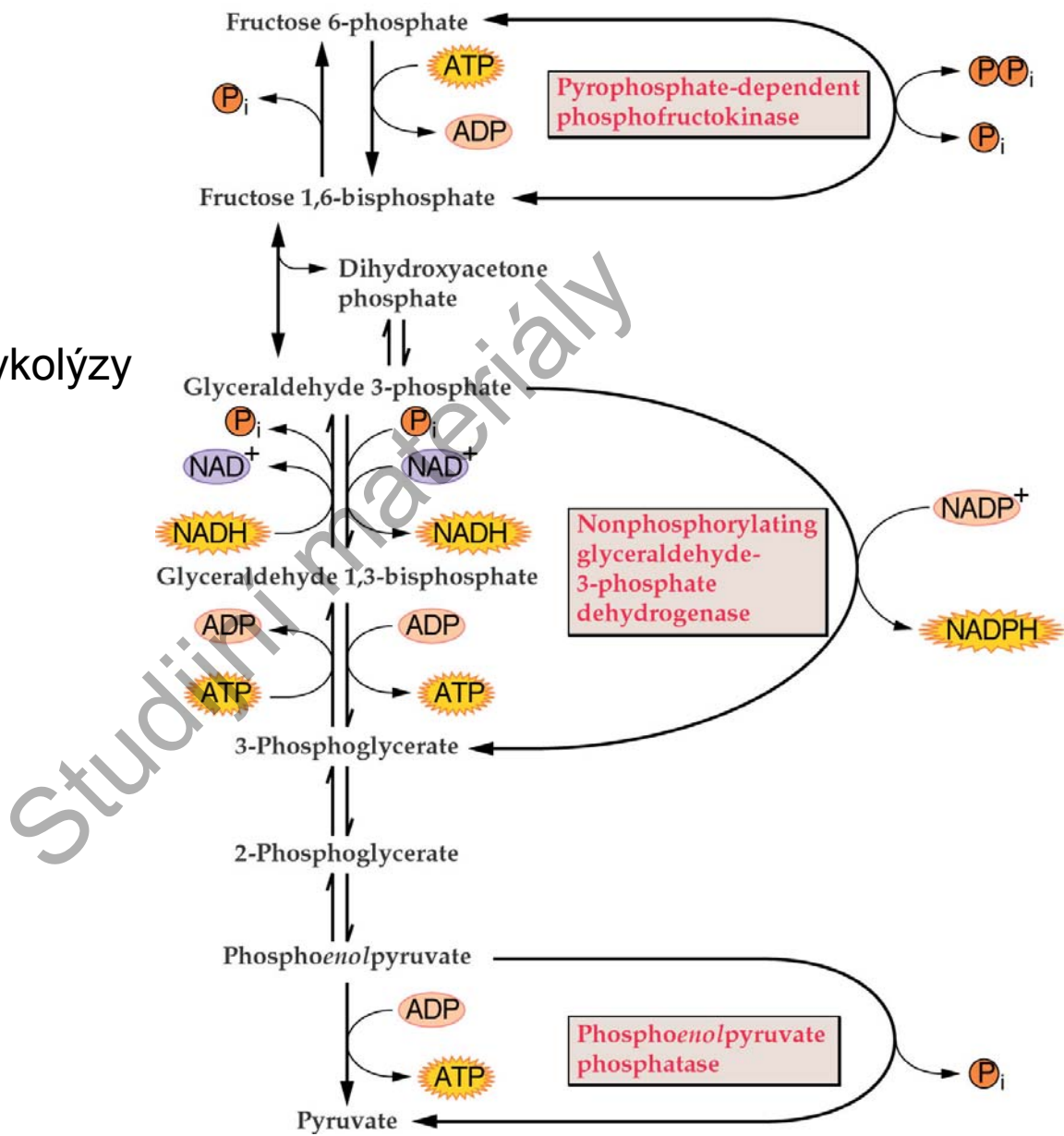
Metabolismus sacharysy

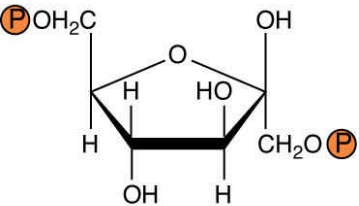




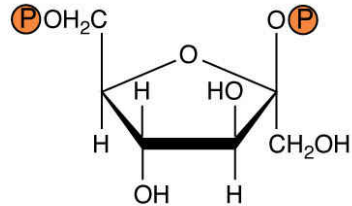
Syntéza rafinosy

Regulace anaerobní glykolýzy



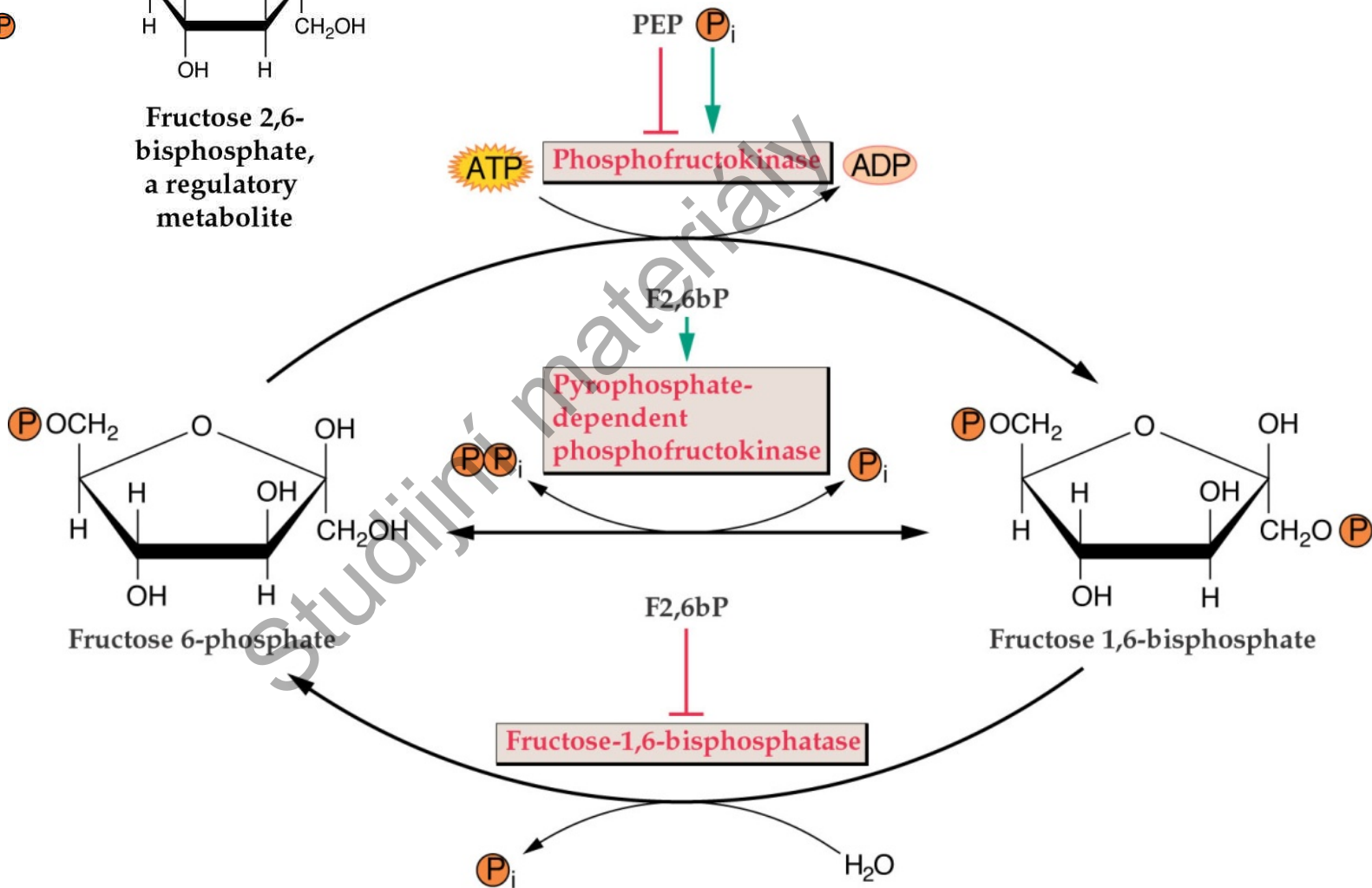


Fructose 1,6-bisphosphate,
a metabolic intermediate

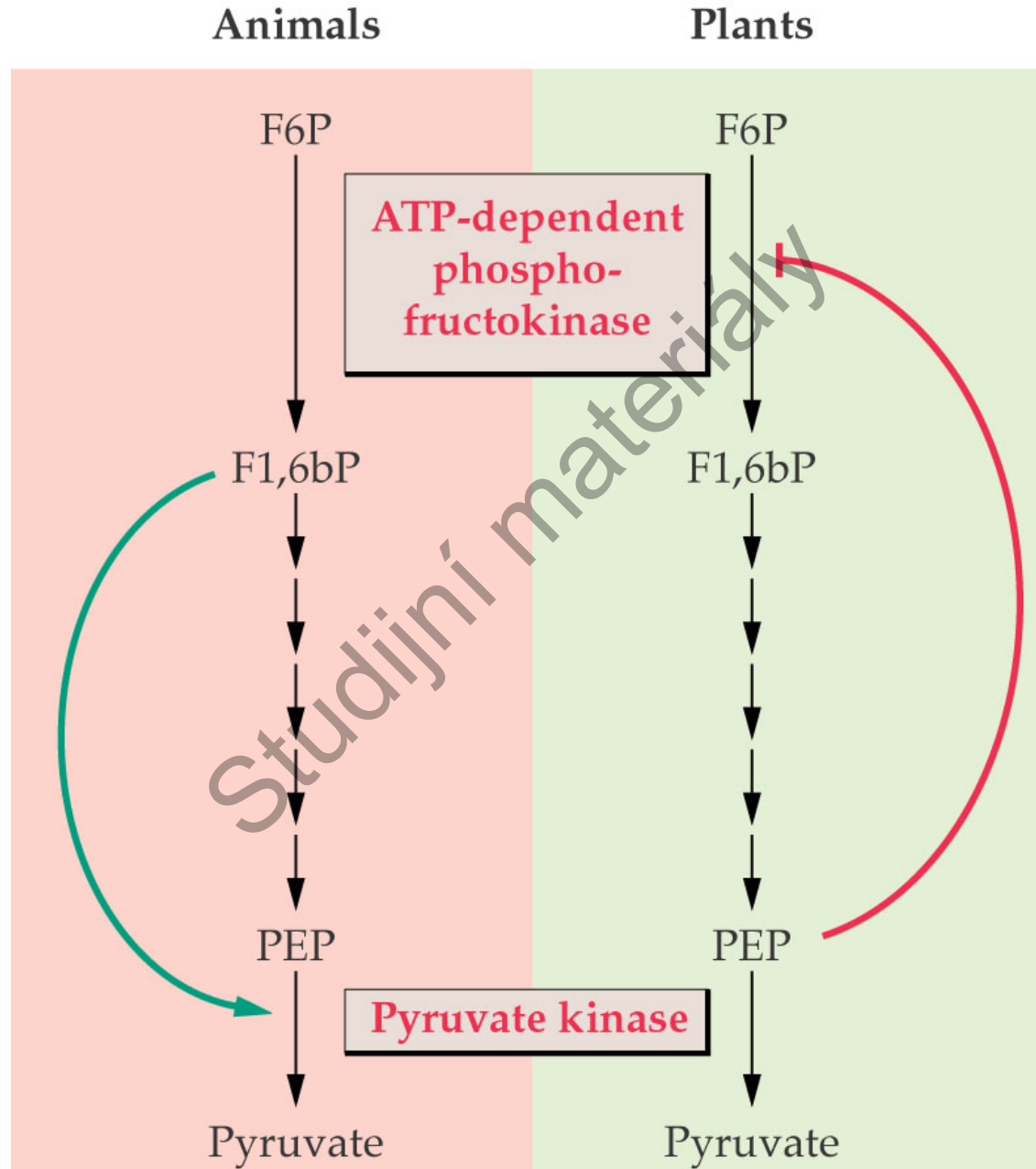


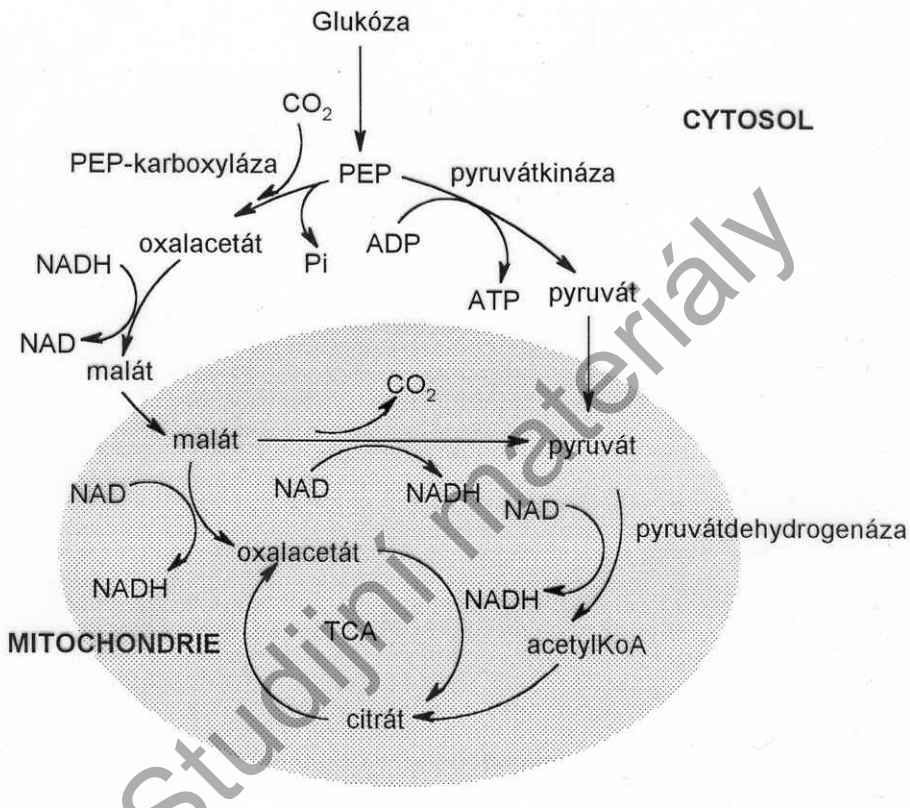
Fructose 2,6-bisphosphate,
a regulatory metabolite

Regulace glykolýzy – první krok



Rozdíly mezi regulací glykolýzy u rostlin a živočichů





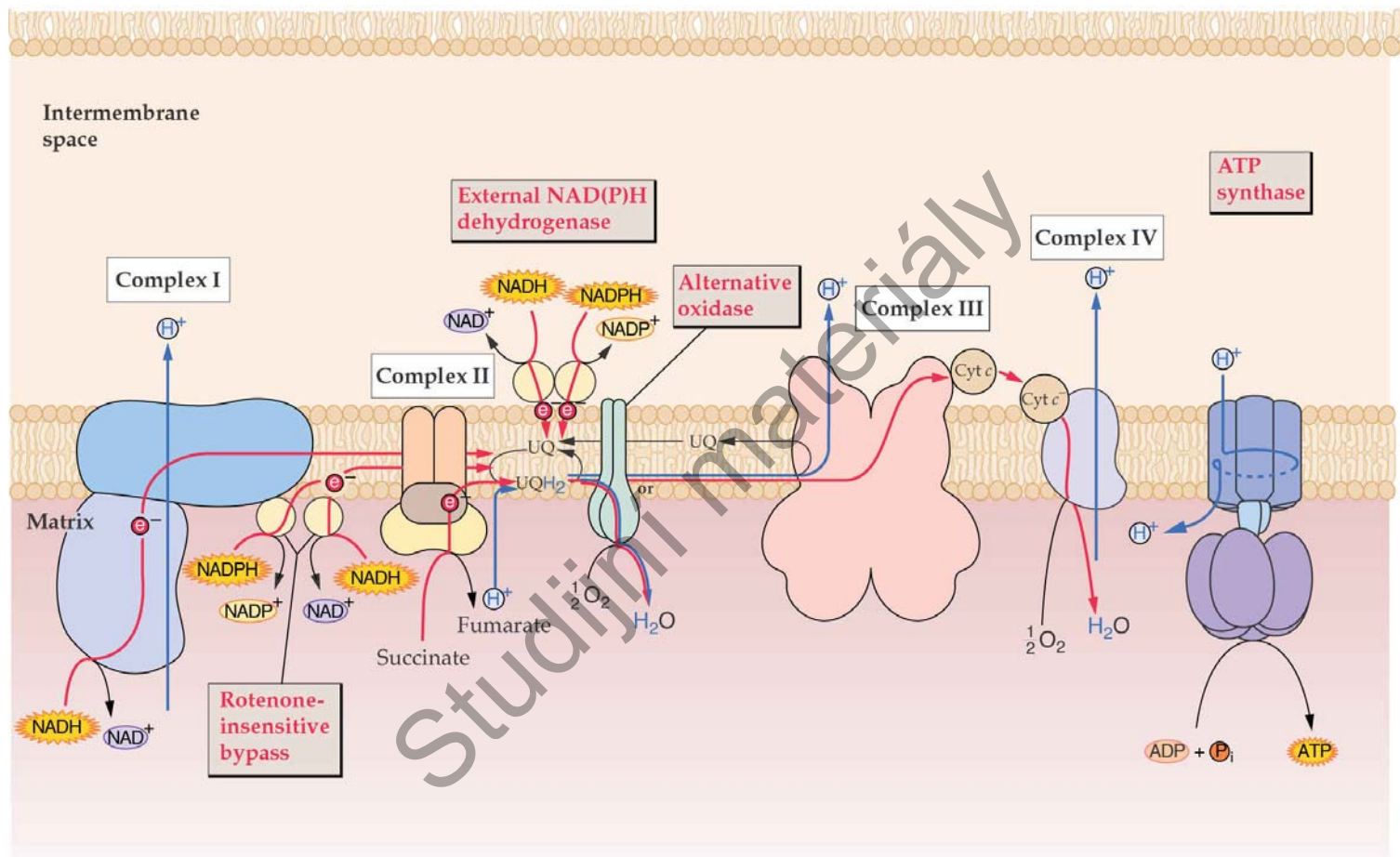
Vztah mezi anaerobní glykolýzou, Krebsovým cyklem a jablečným enzymem

Kyselina	Obsah ($\mu\text{mol/g}$ čerstvé hmotnosti)					
	Arum	Kukuřice (kořen)	Kukuřice (koleopt)	Pšenice (list)	Bryophyllum (list)	Játra krysí
Citrát	16.6	1.5	0.8	0.60	8.0	0.22
Isocitrát	0.11	-	-	-	60.0	0.01
Jantaran	-	0.2	0.2	0.2	-	0.75
Fumaran	0.90	-	-	-	-	0.08
Malát	21.6	7.5	2.7	1.7	19.0	0.39

Obsah dikarboxylátů v rostlinách

Respirace

Studijní materiály



Respirační řetězec rostlin, alternativní oxidasa, rotenon necitlivé NADH oxidasy

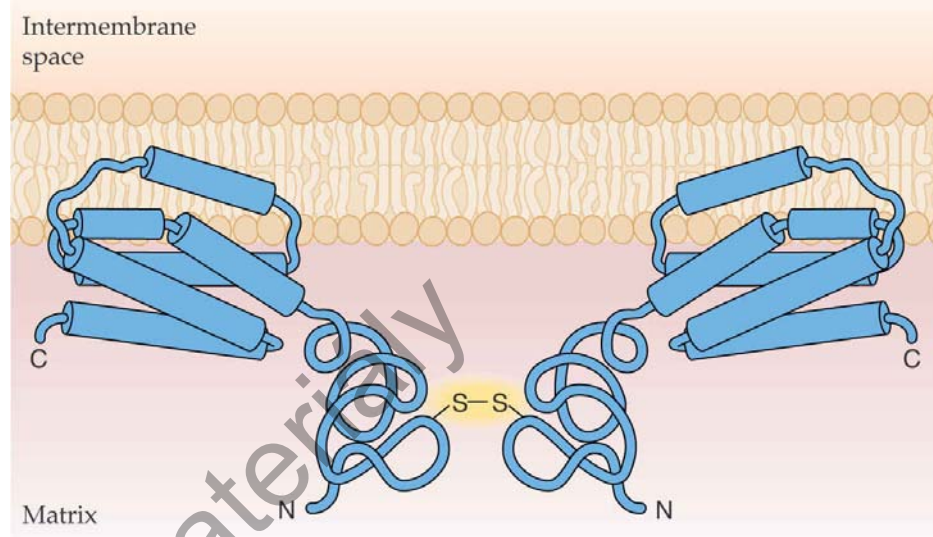
Srovnání kyanid insenzitivní respirace rostlinné tkáně v přítomnosti 0.2 mM KCN a rozpojovače.

Druh		Resistence respirace na CN (%)
Gossypium	kořen	36
Phaseolus	kořen	61
Spinacea	listy	40
Zea	kořen	47
Pisum	listy	39

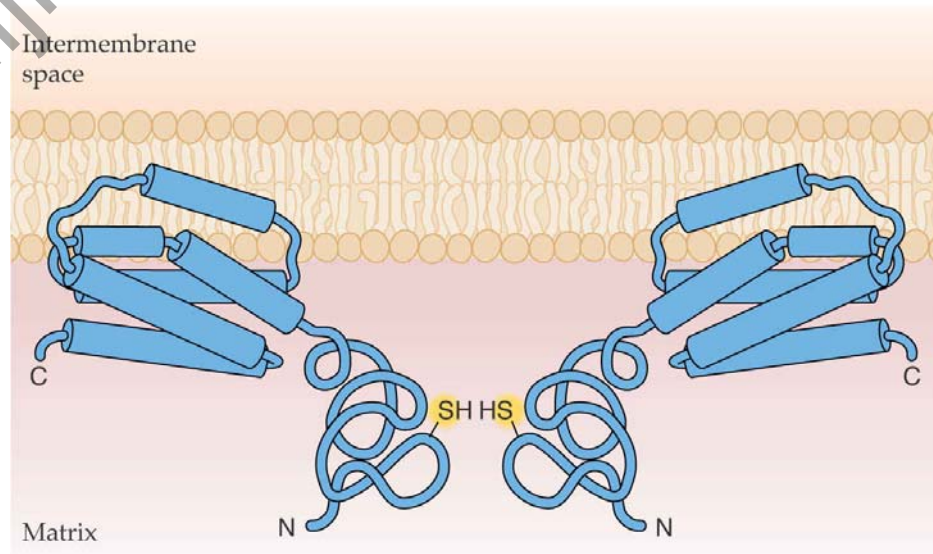
Inhibice SHAM nebo disulfiramem

Kyanid necitlivá respirace u rostlin

Inactive form (oxidized)



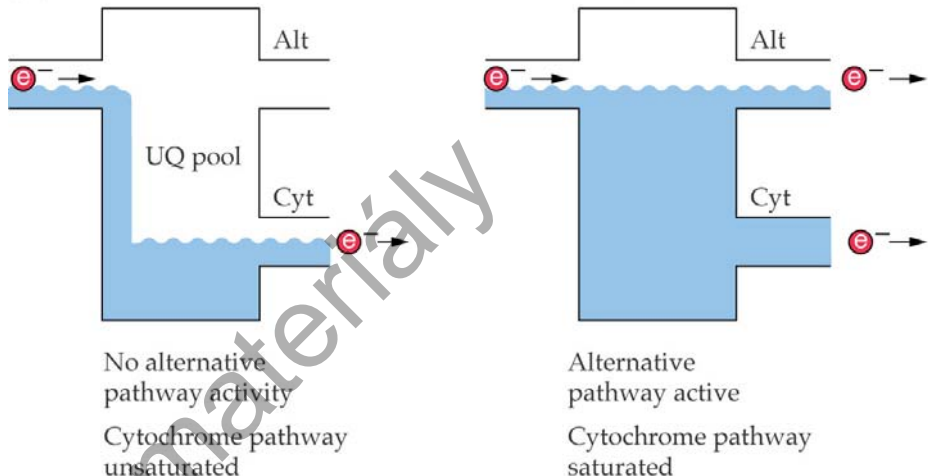
Active form (reduced)



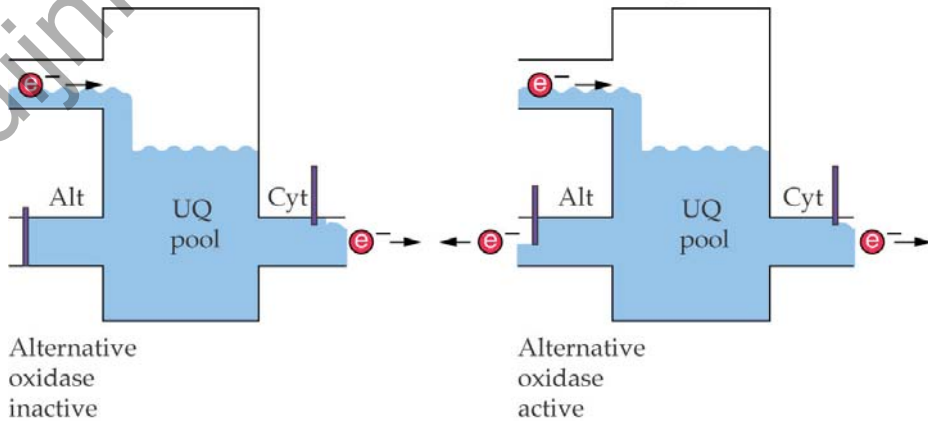
Alternativní oxidasa a její regulace

Role alternativní oxidasy

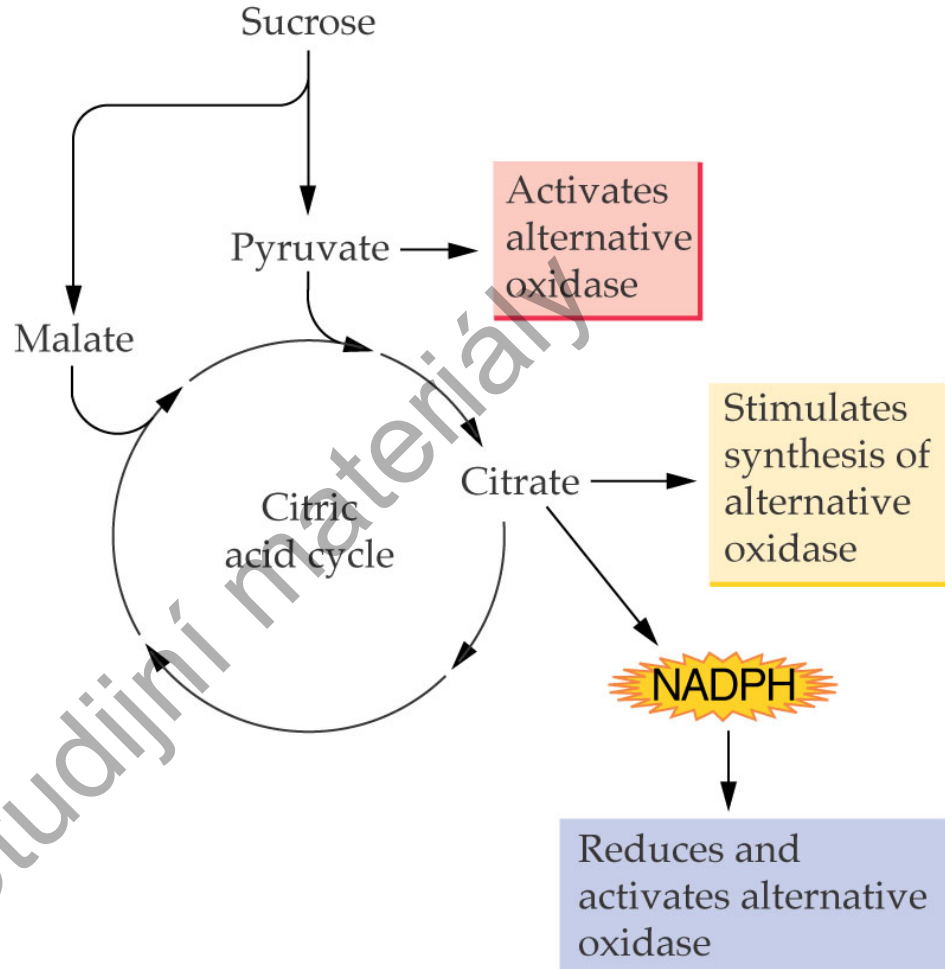
(A) Electron overflow model (considered out-of-date)



(B) Electron distribution model (reflects current thinking)



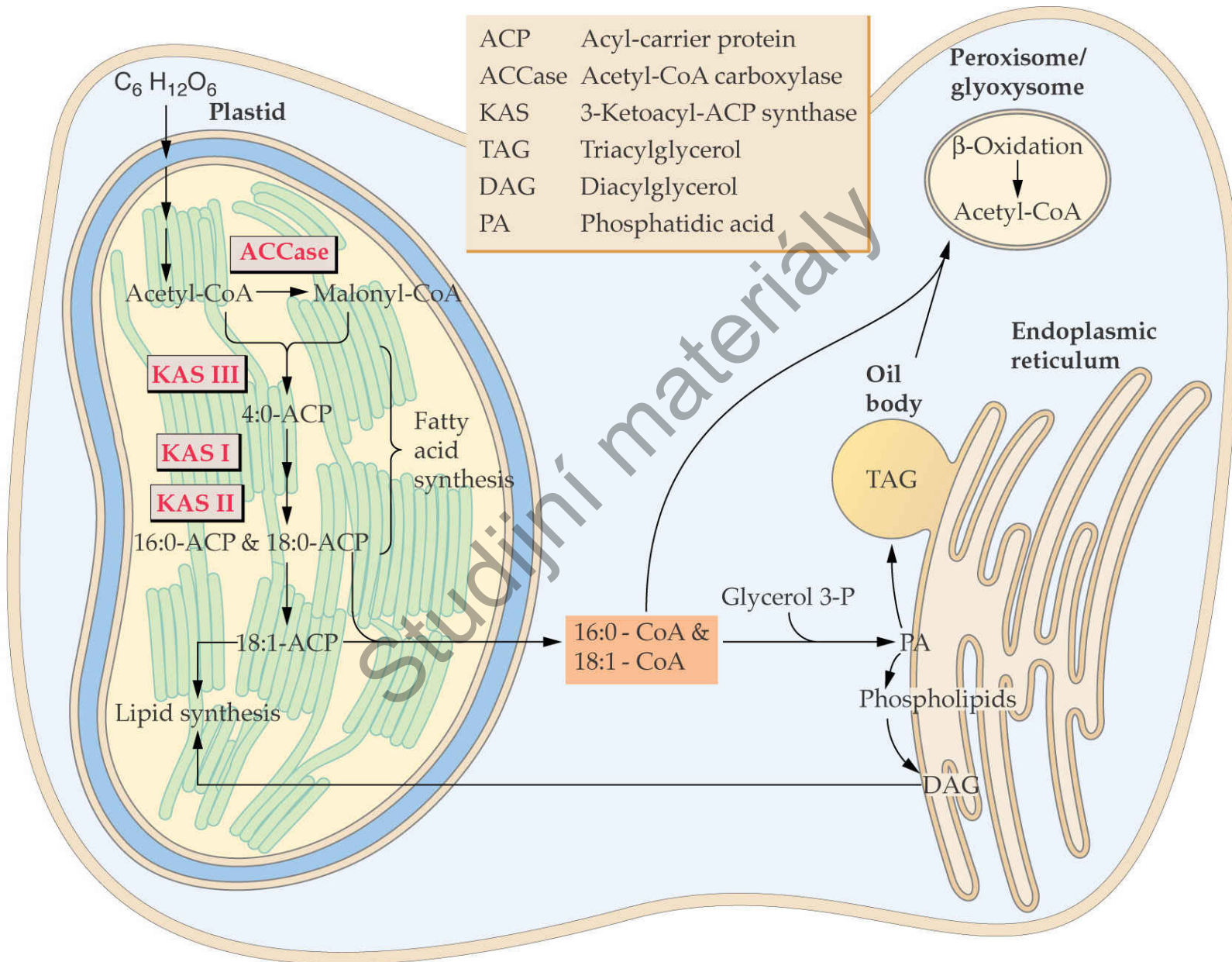
Role alternativní oxidasy



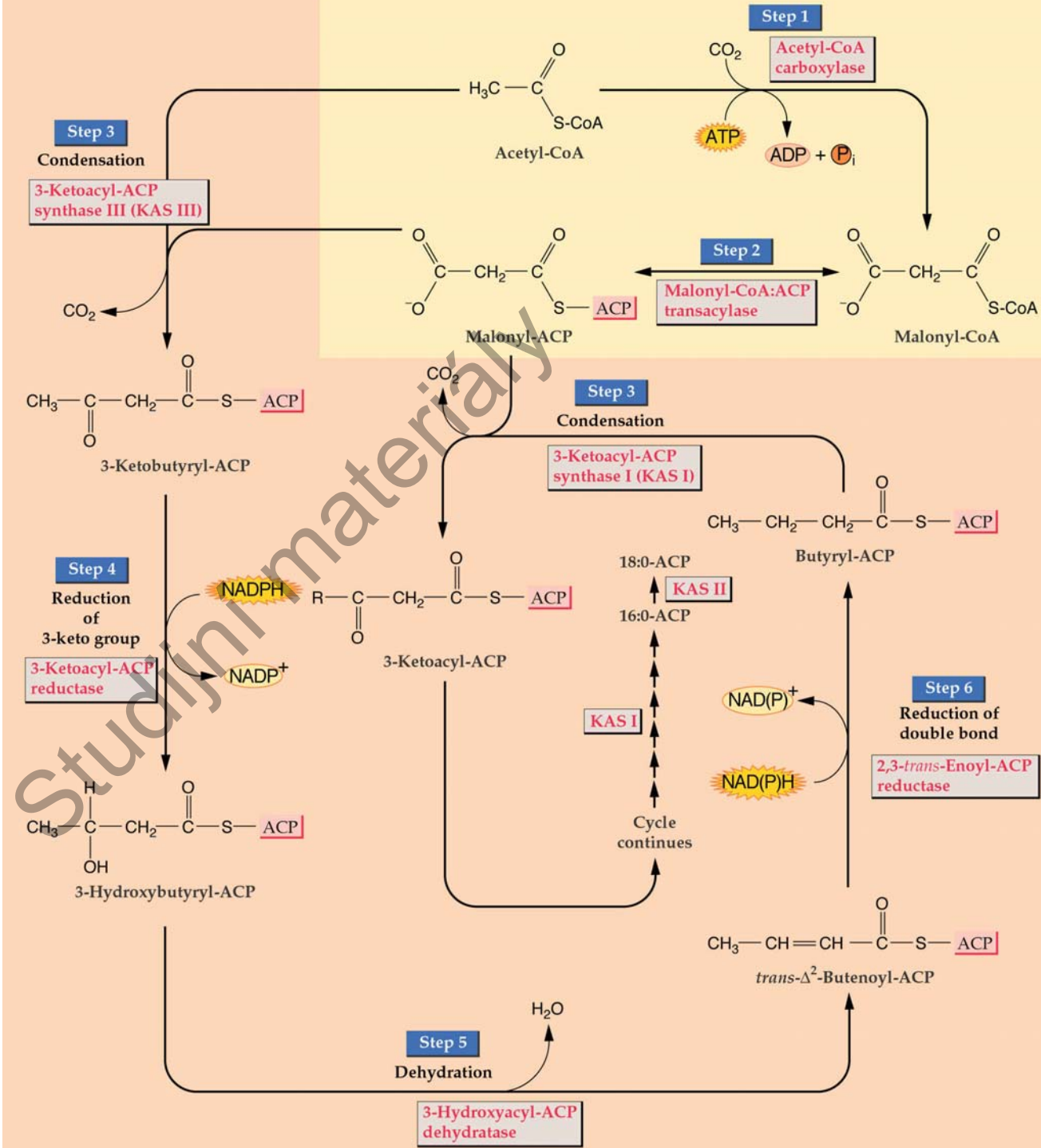
Lipidy

Studijní materiály

Syntéza mastných kyselin u rostlin – lokalizace v buňce

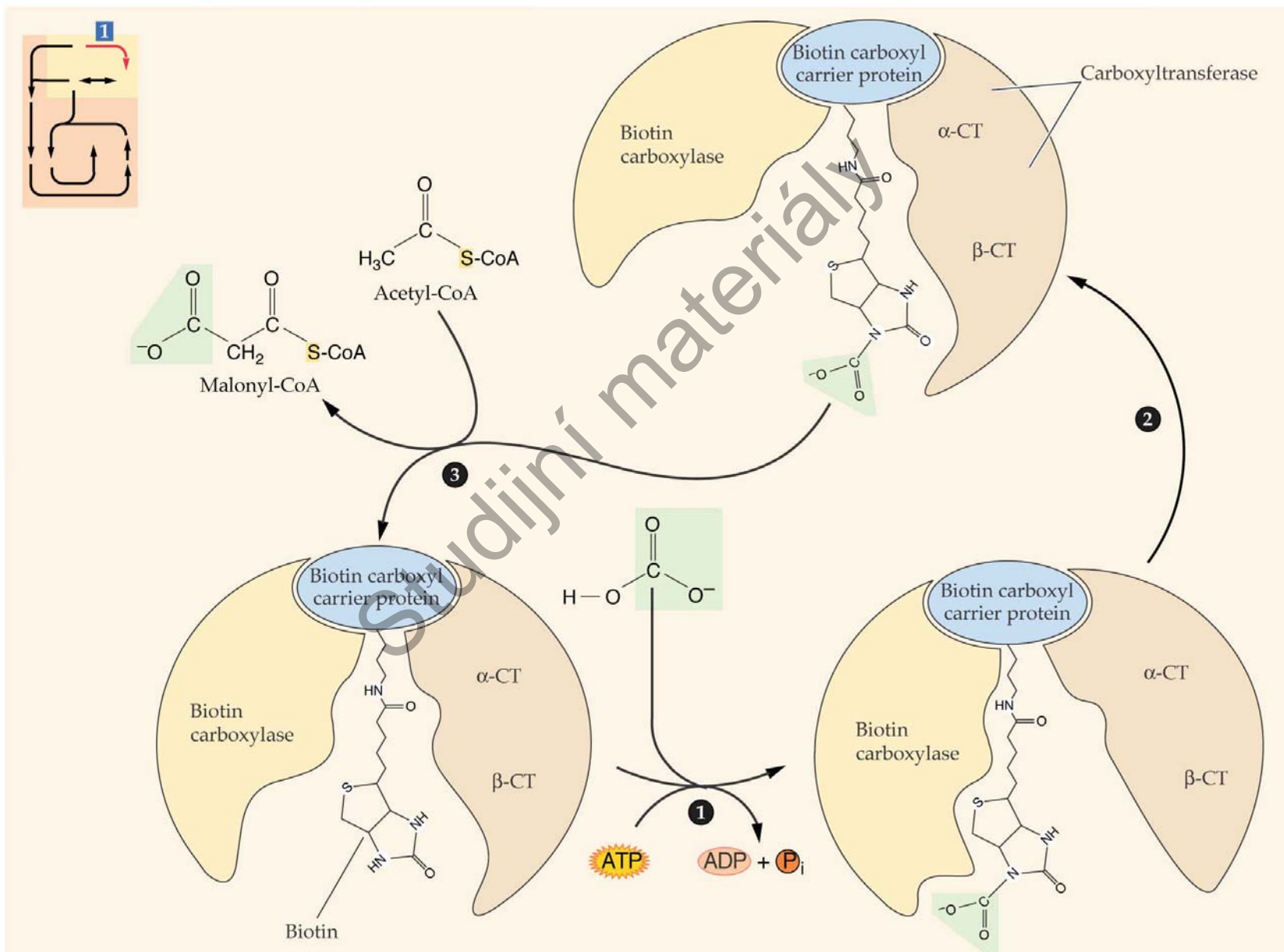


Syntéza mastných kyselin u rostlin - dráhy



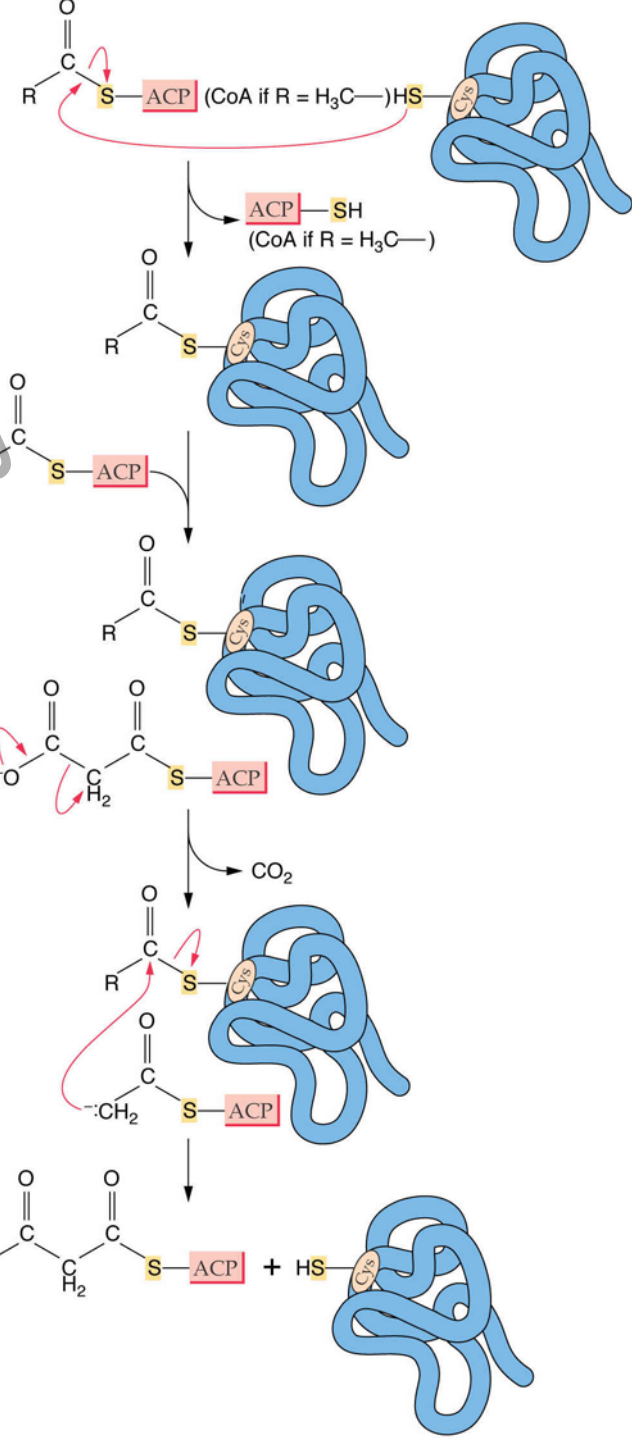
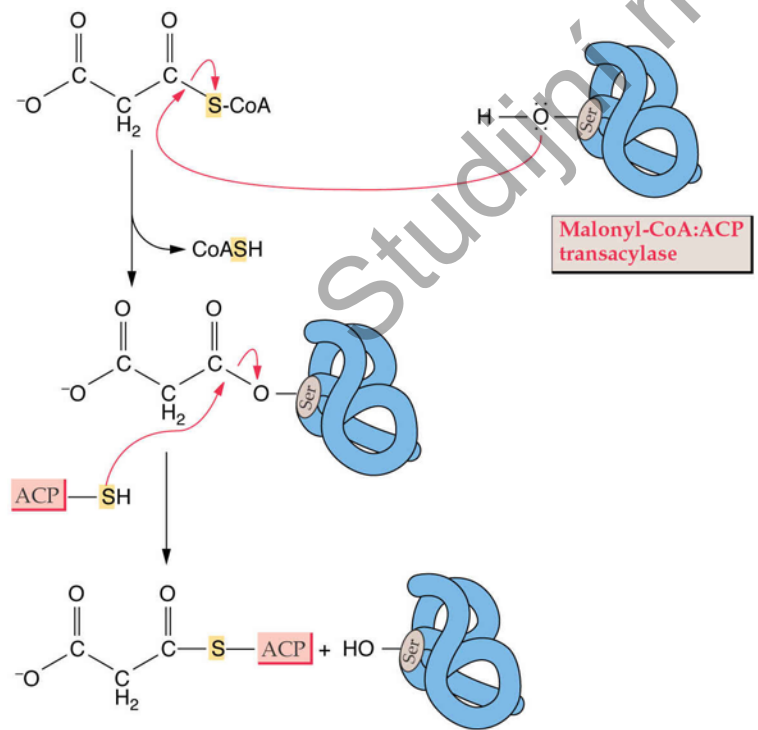
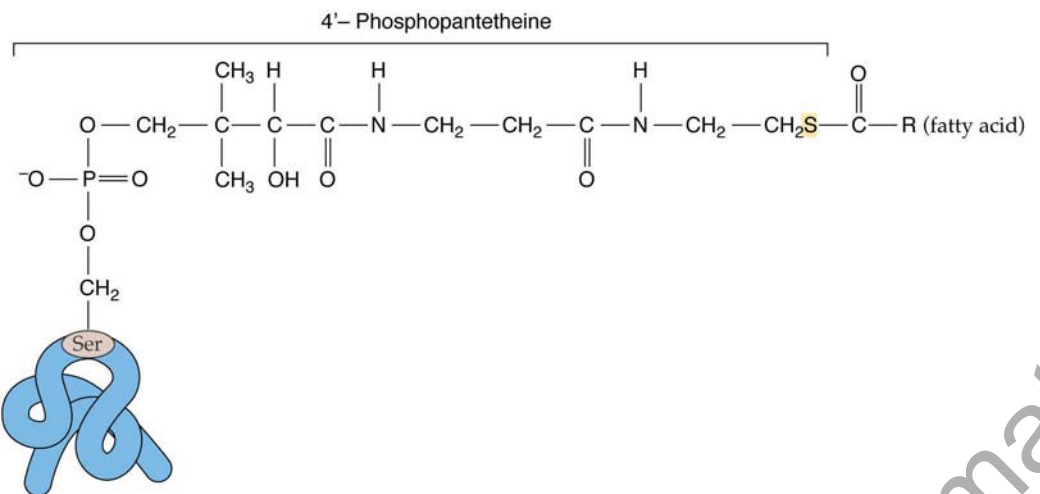
Acetyl-CoA carboxylasa

Reaction 10.1: Acetyl-CoA carboxylase

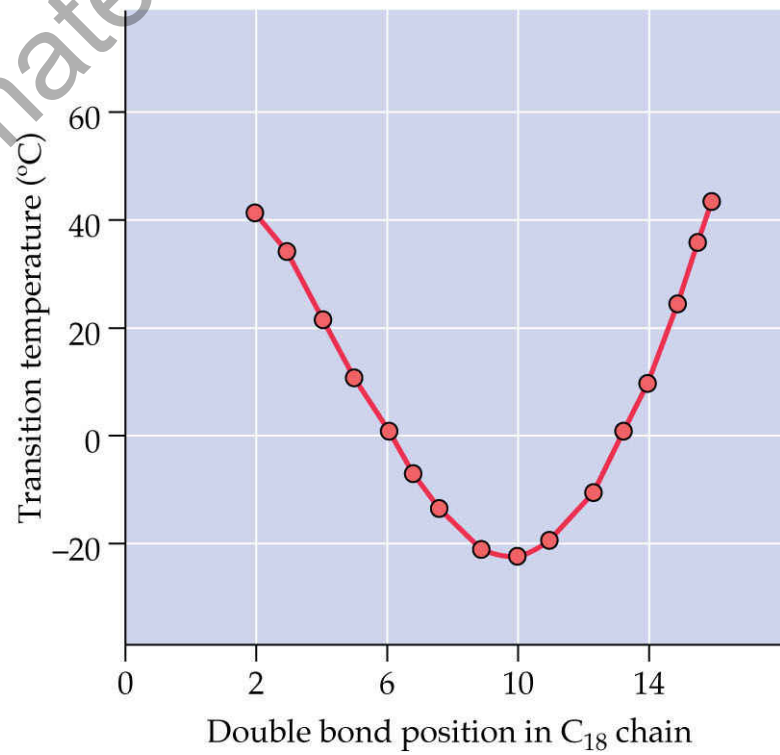
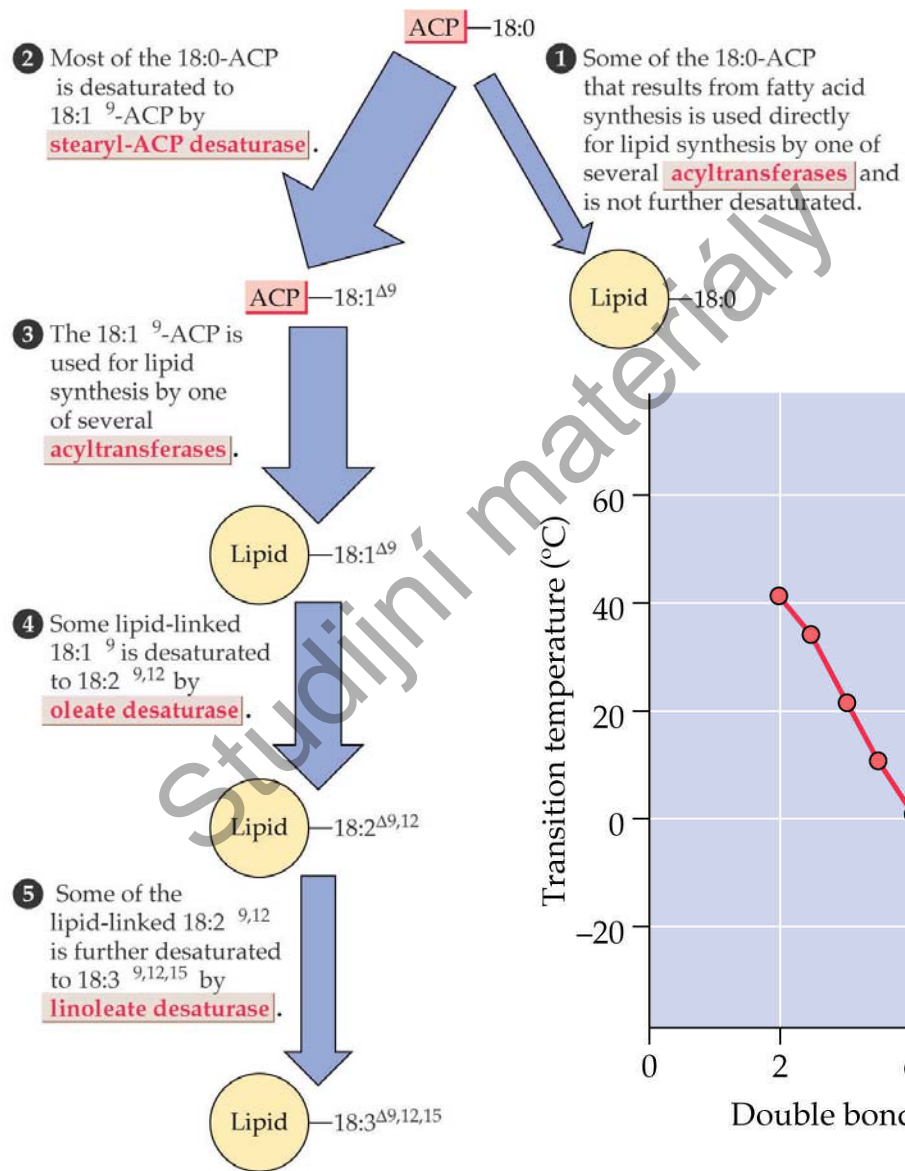


Syntéza mastných kyselin u rostlin

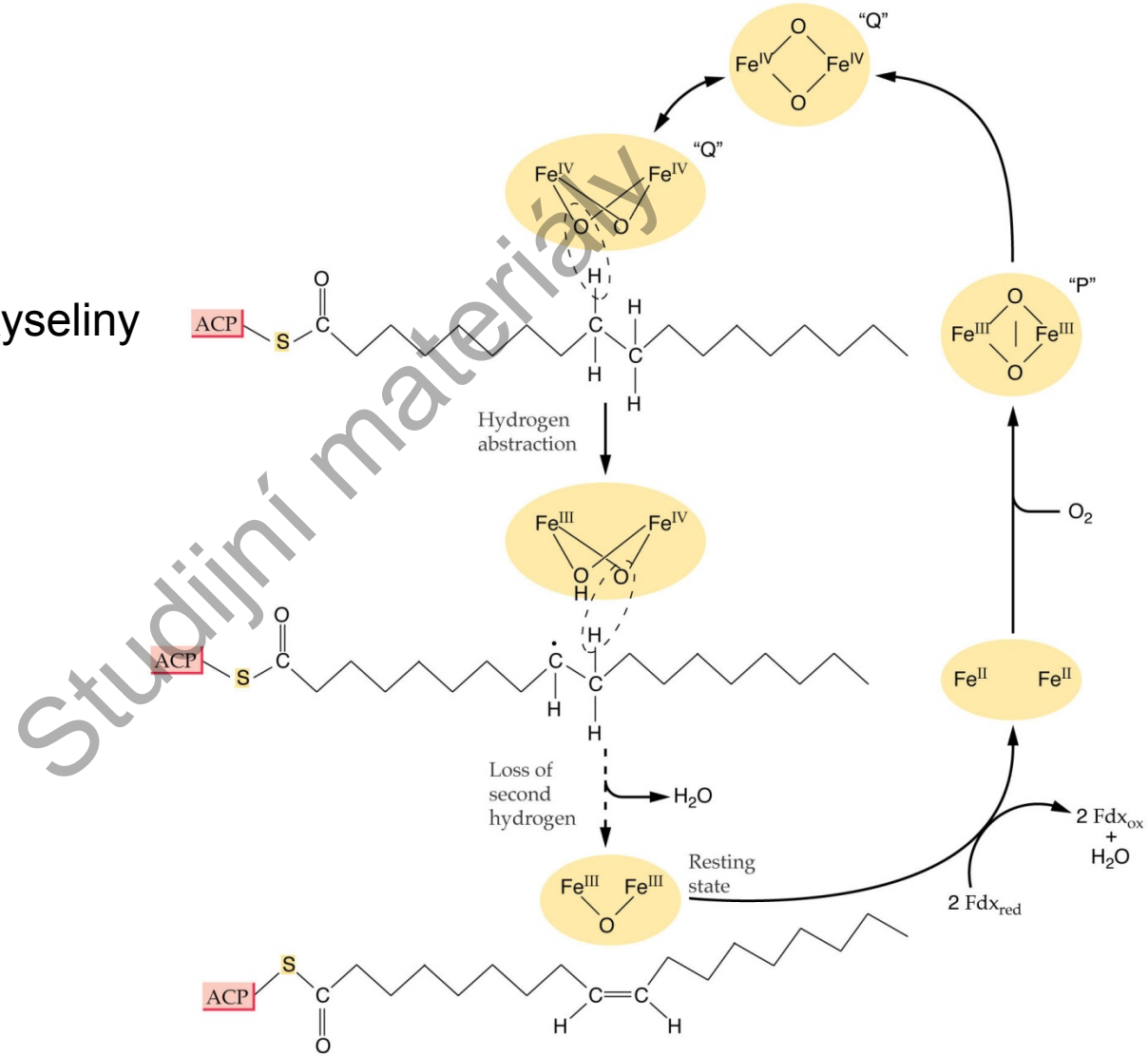
- prodlužování



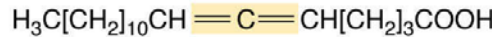
Nenasycené mastné kyseliny syntéza - schéma



Nenasycené mastné kyseliny syntéza



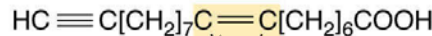
Neobvyklé mastné kyseliny



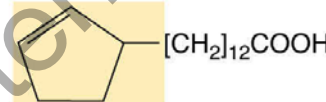
Laballenic acid, an allenic acid



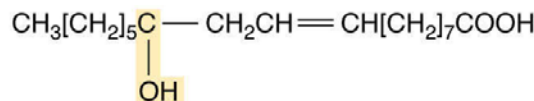
Stearolic acid, a monoacetylenic acid



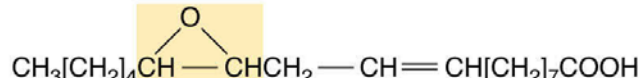
Sterculynic acid, a cyclopropene-containing acid



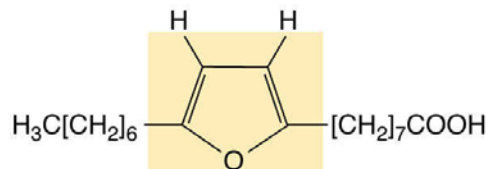
Chaulmoogric acid, a cyclopentenyl acid



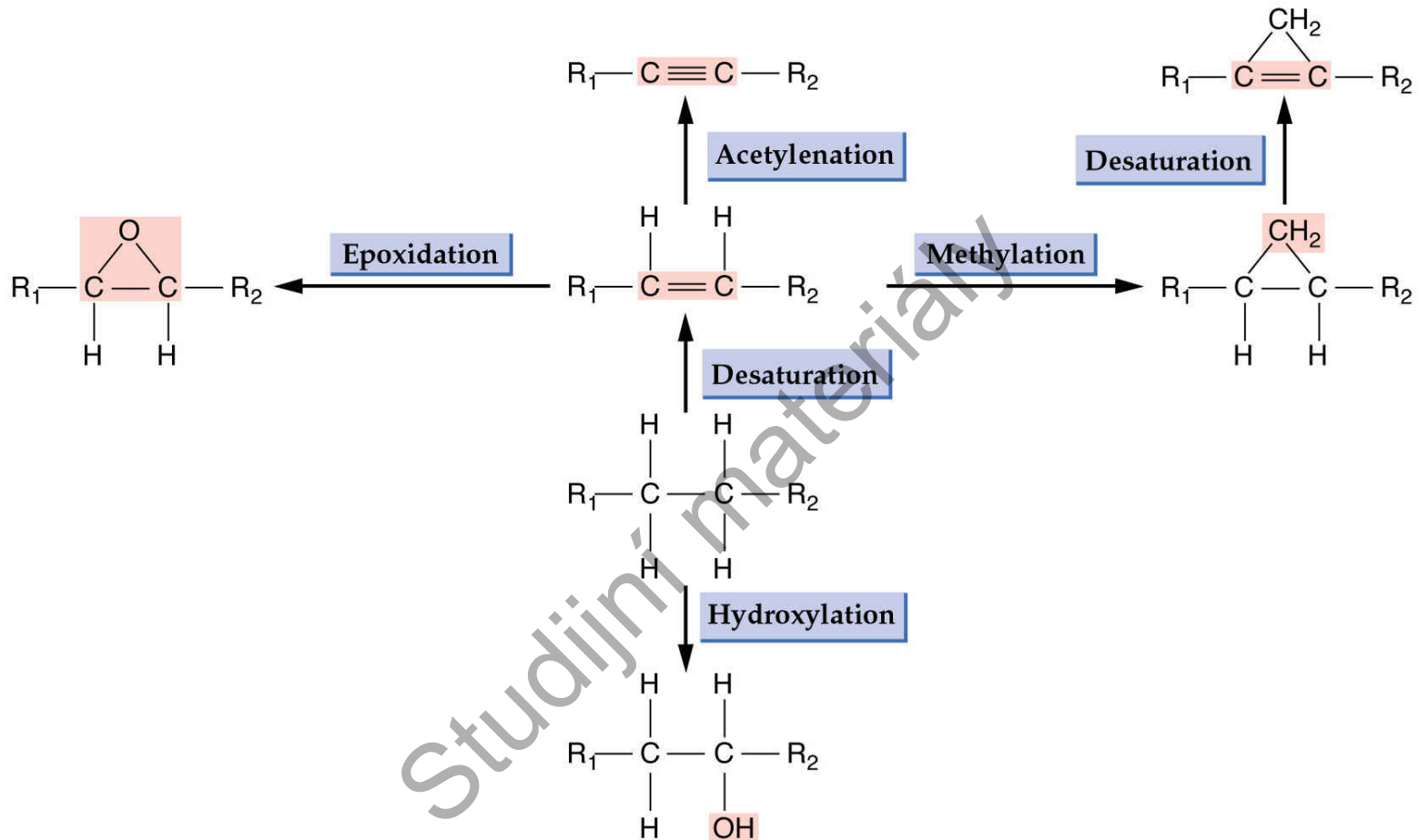
Ricinoleic acid, a hydroxy fatty acid



Vernolic acid, an epoxy fatty acid

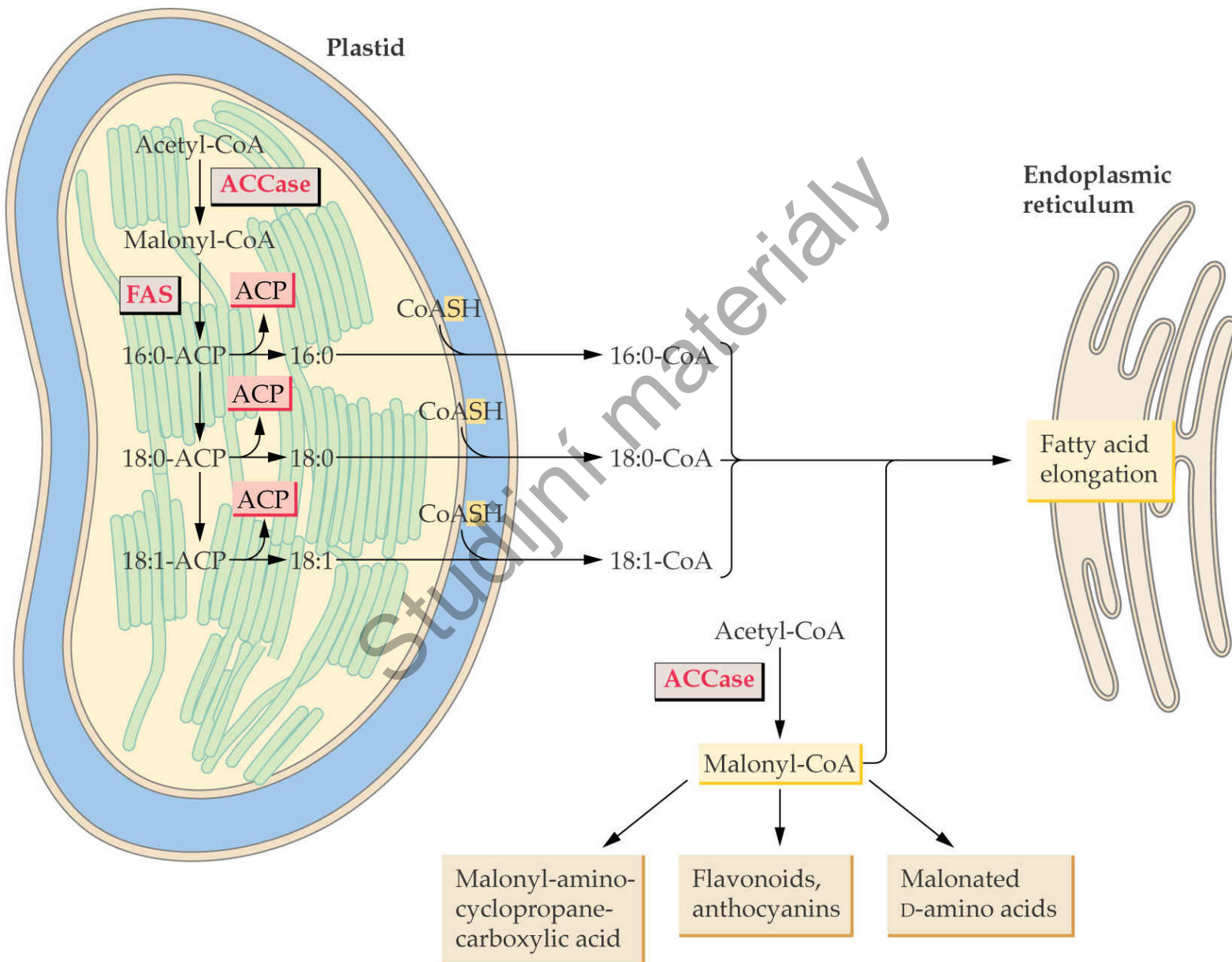


A furan-containing fatty acid

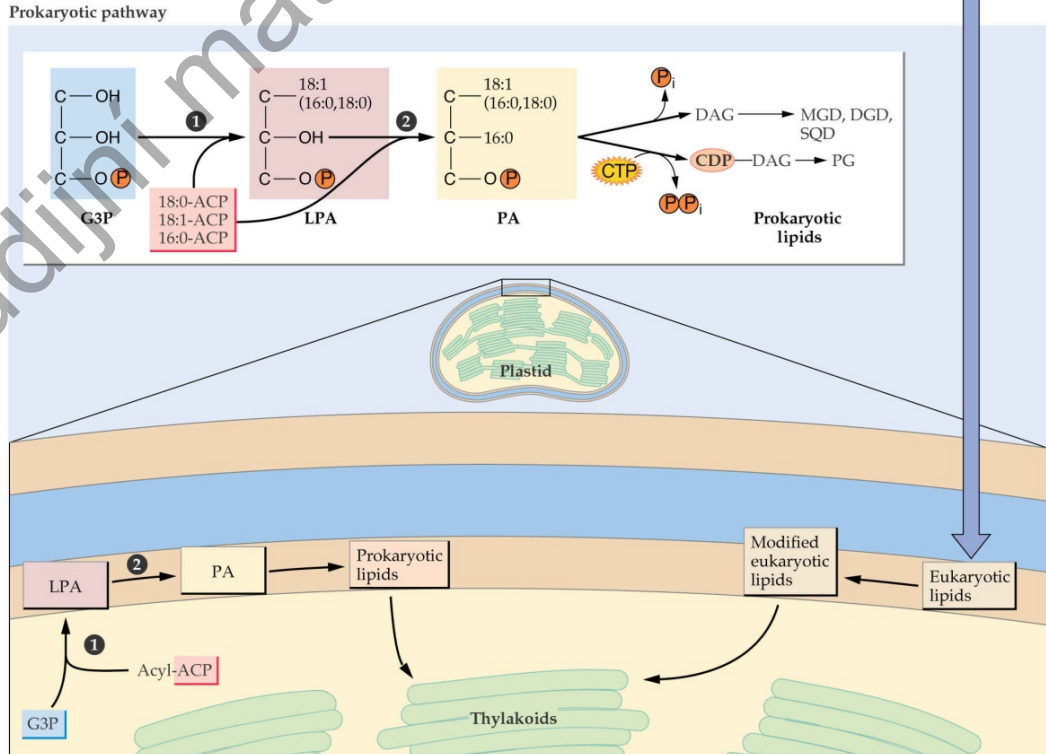
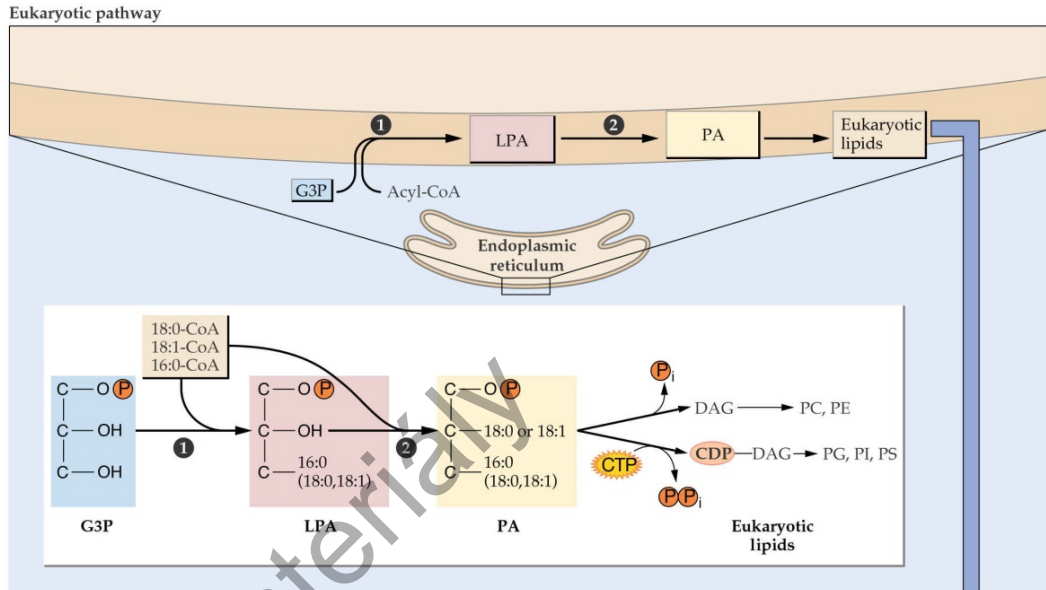


Syntéza neobvyklých MK

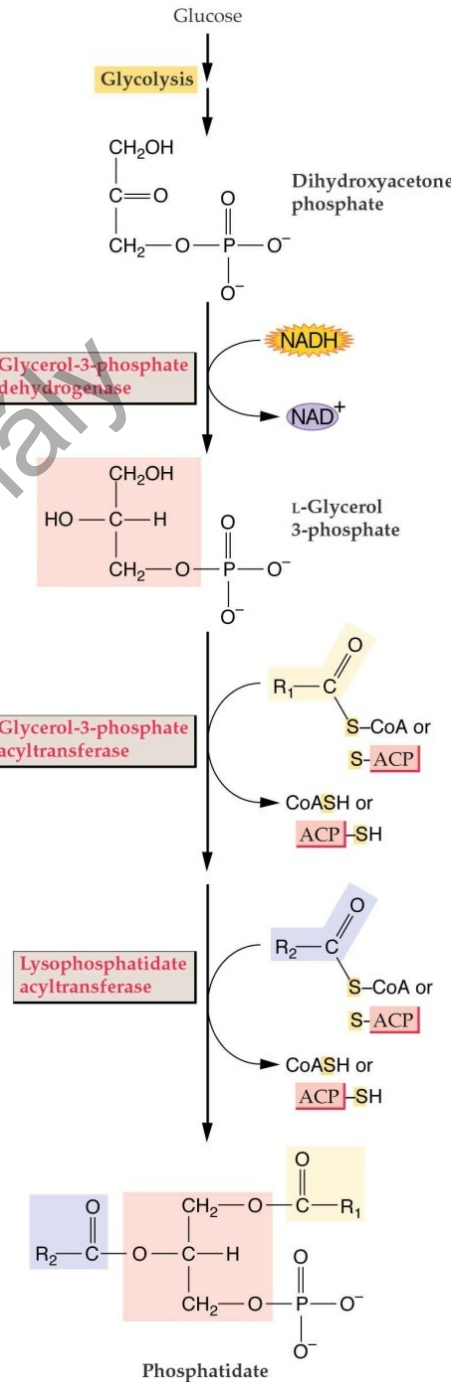
Distribuce mastných kyselin v rostlině



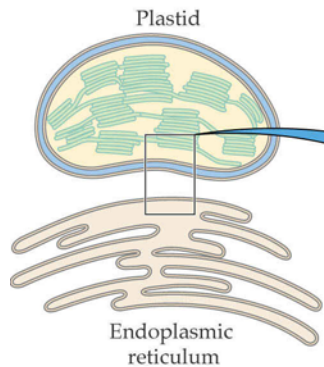
Syntéza glycerofosfolipidů



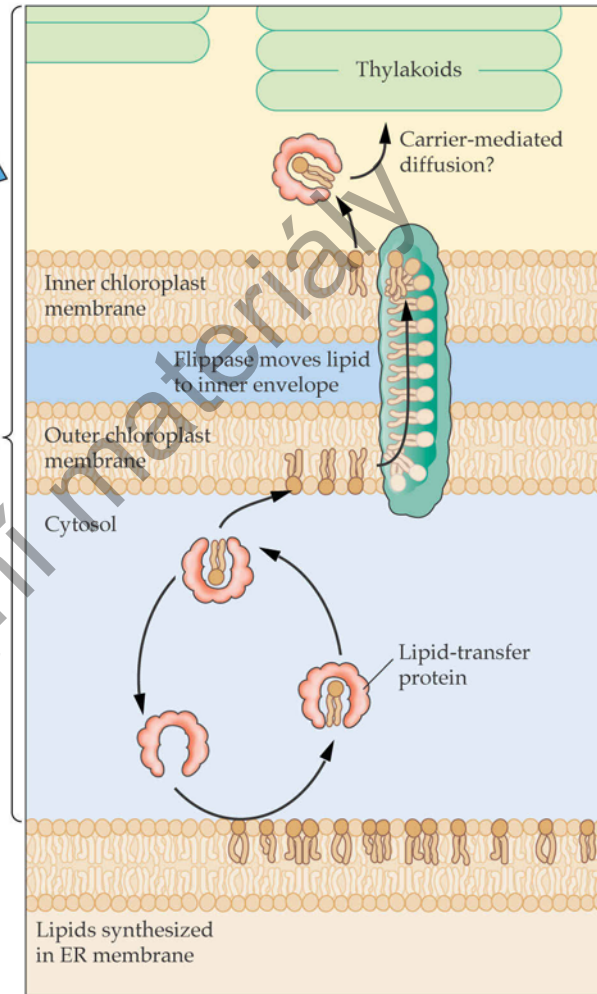
Syntéza glycerofosfolipidů



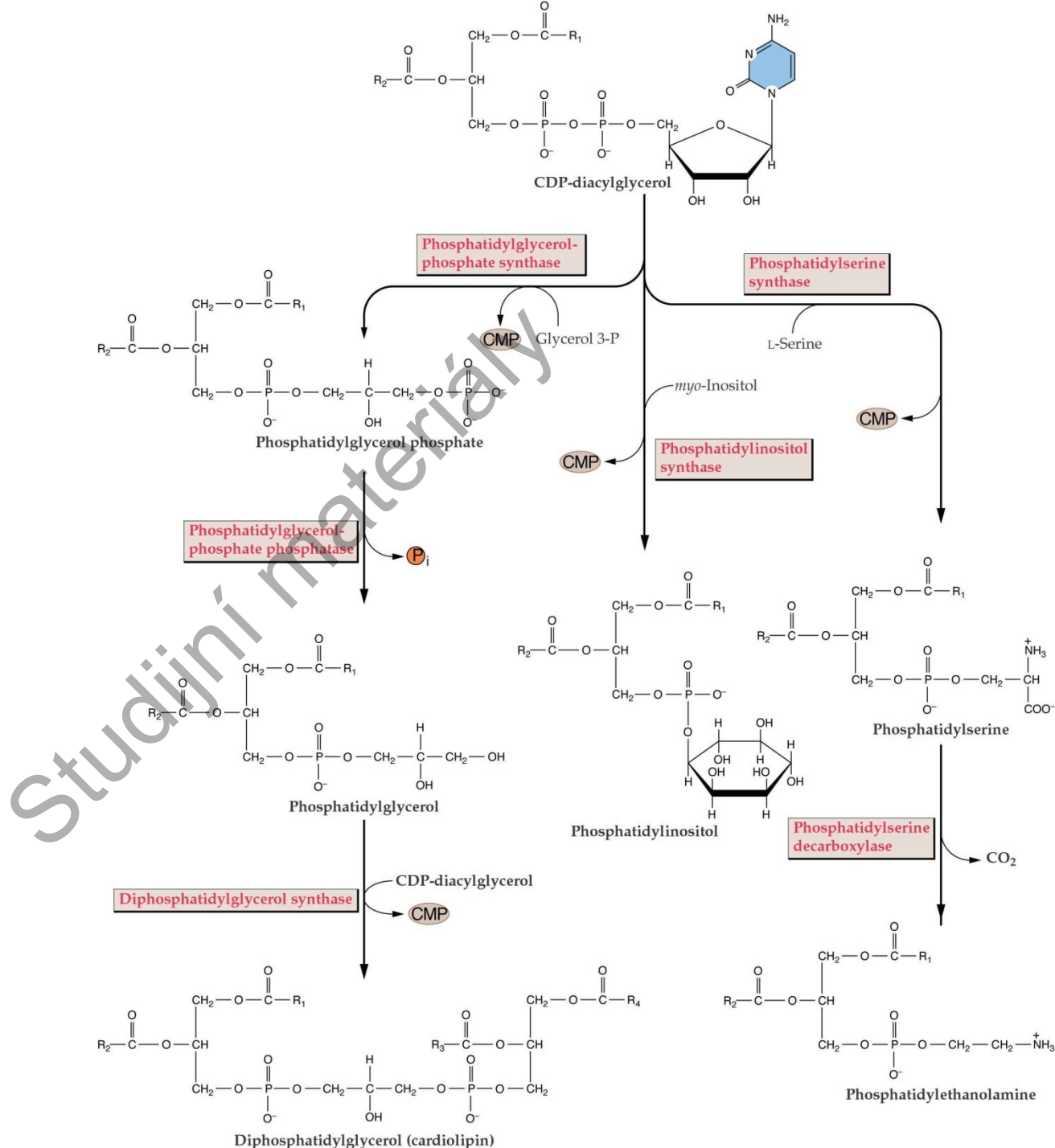
Transport PL z ER



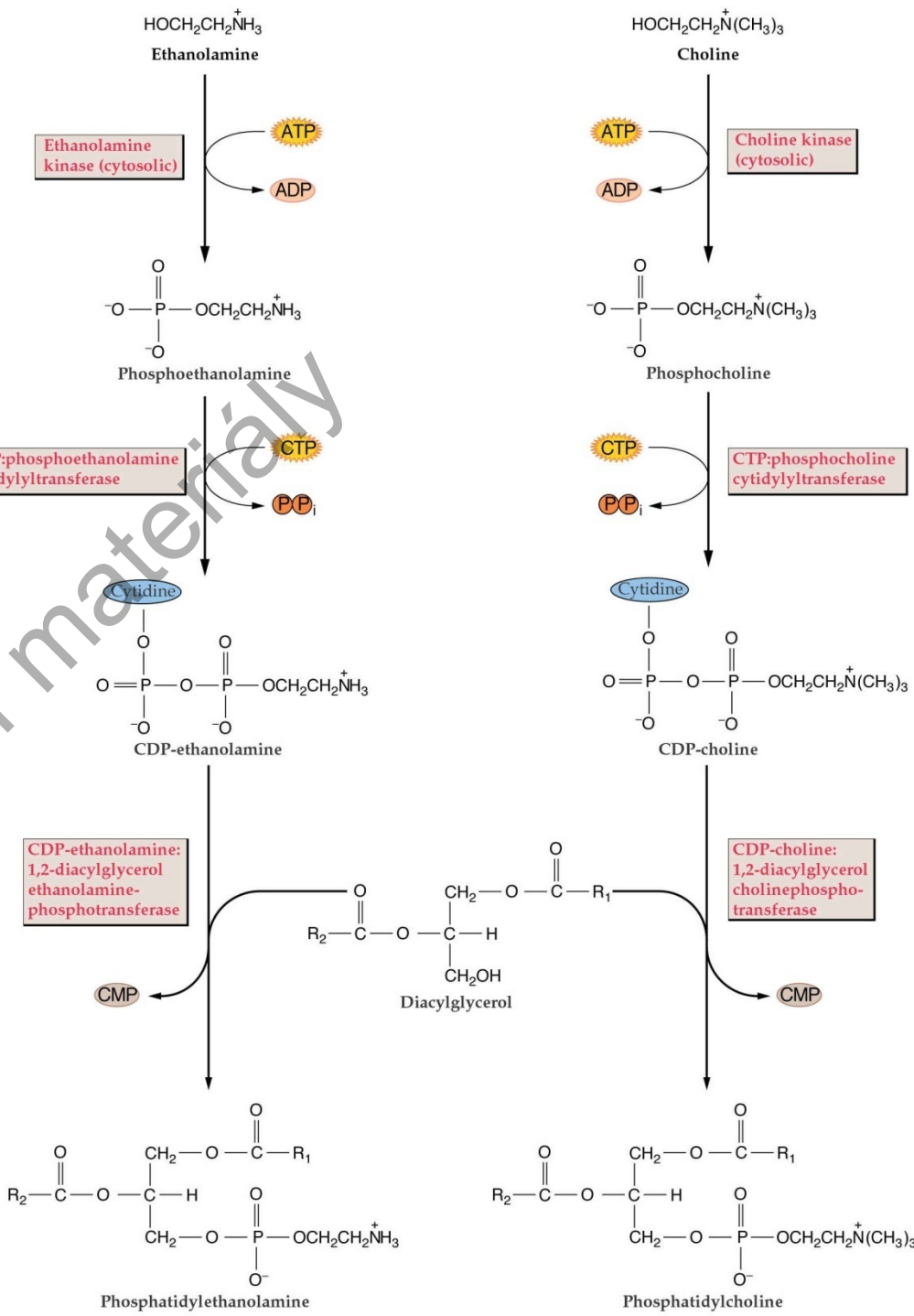
Hypothetical scheme



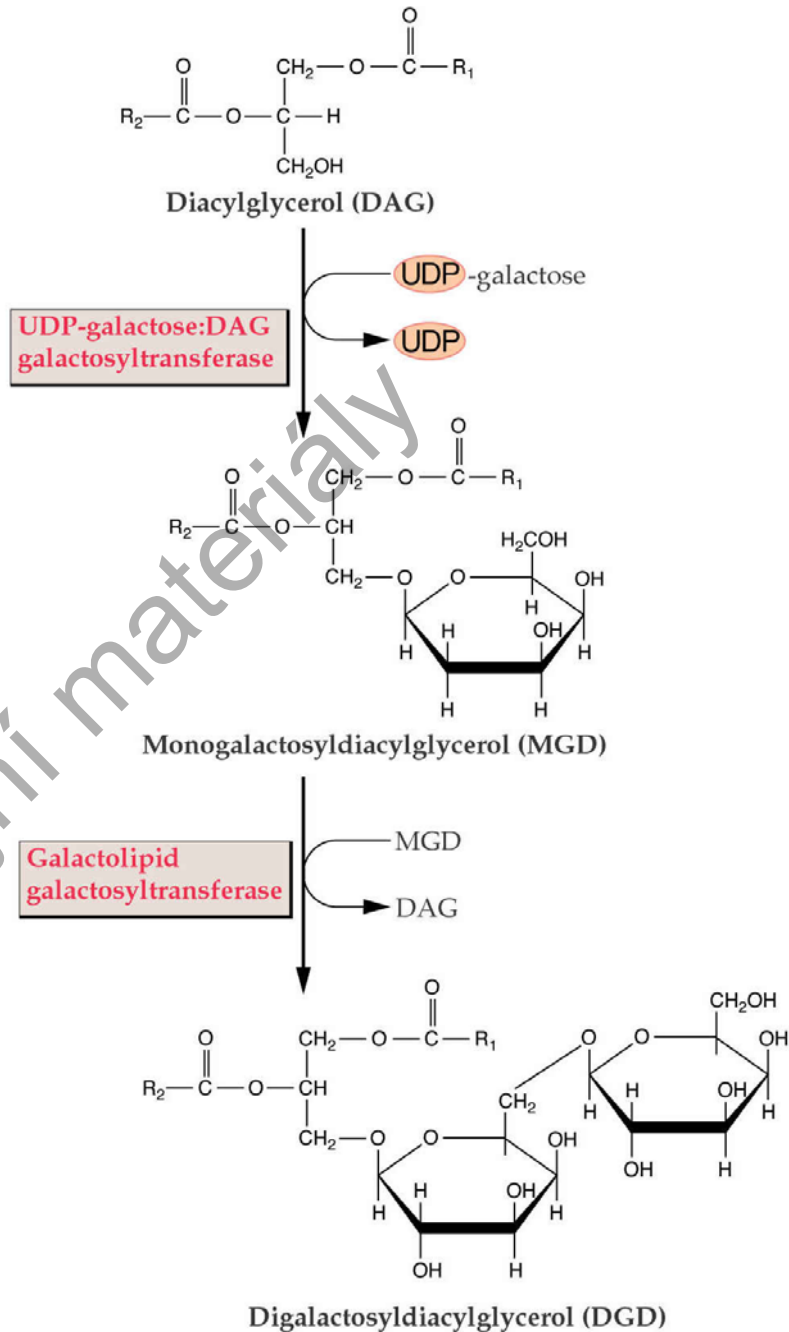
Syntéza phospholipidů

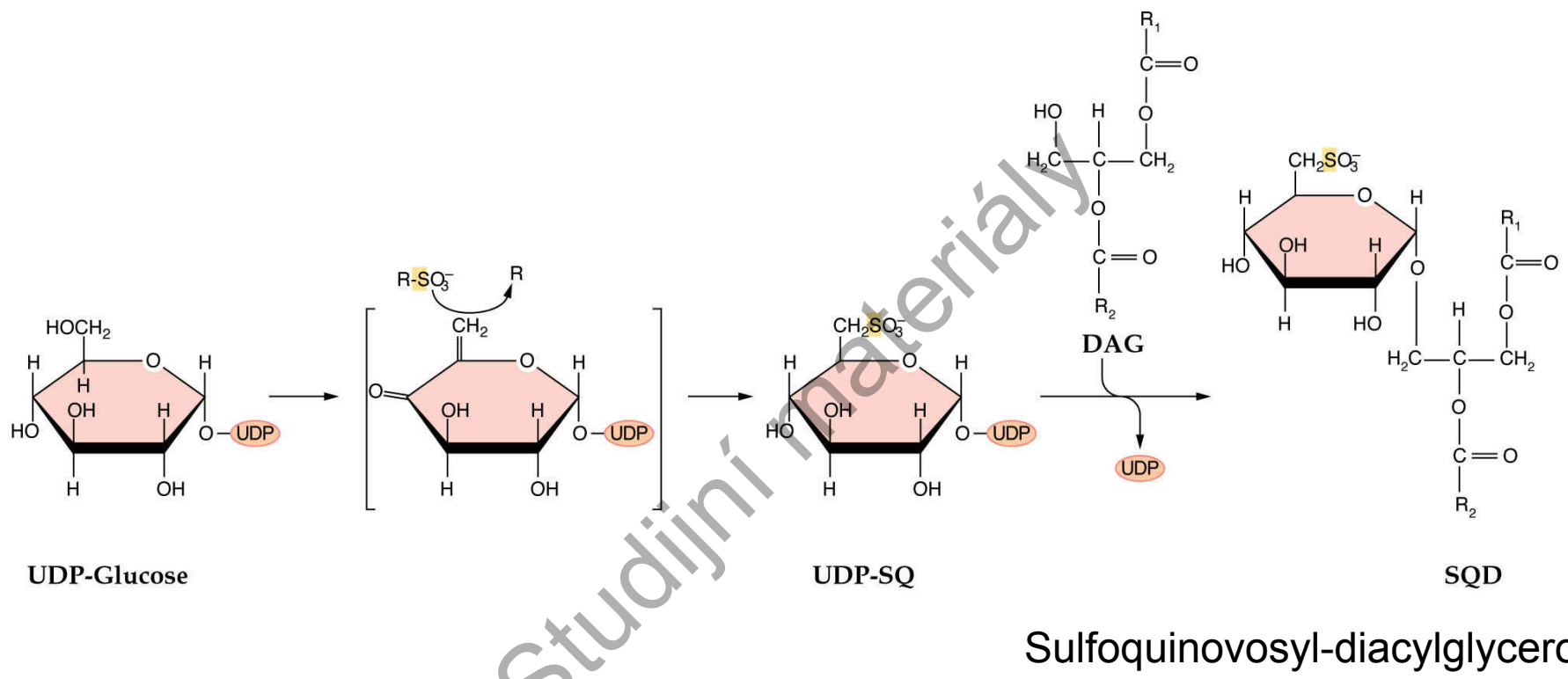


Syntéza phosphalipidů



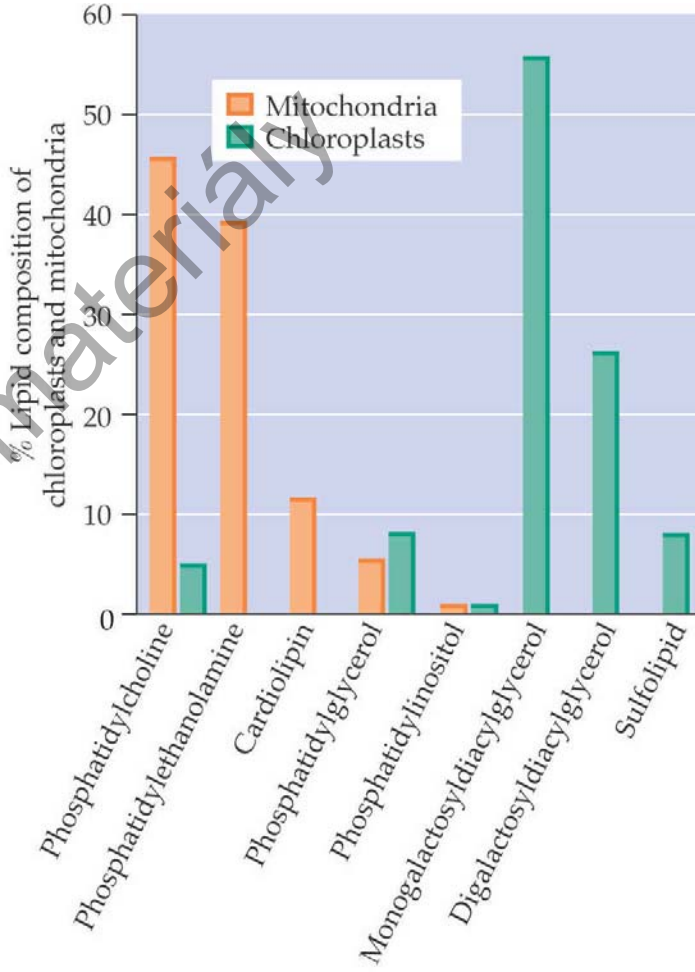
Galaktolipidy a sulfolipidy



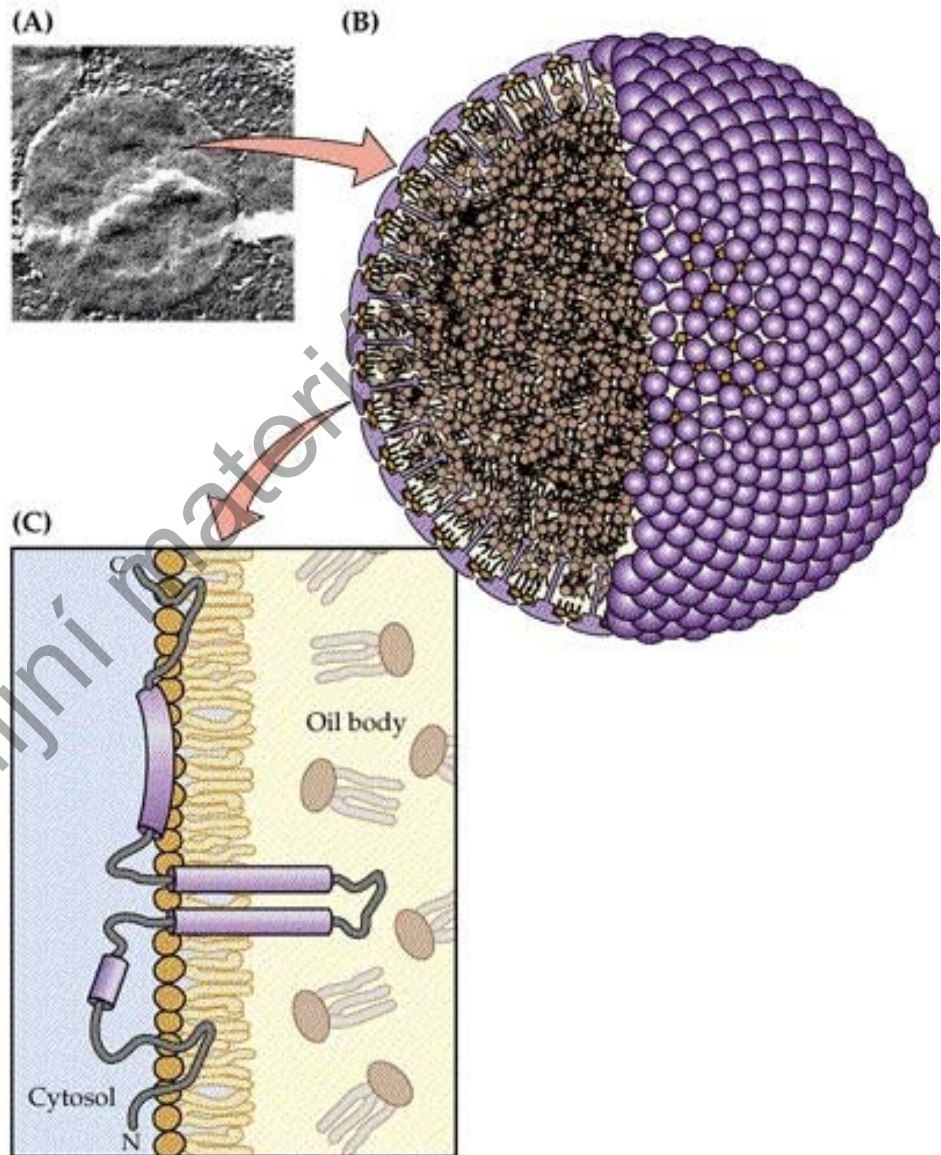


Syntéza sulfolipidů

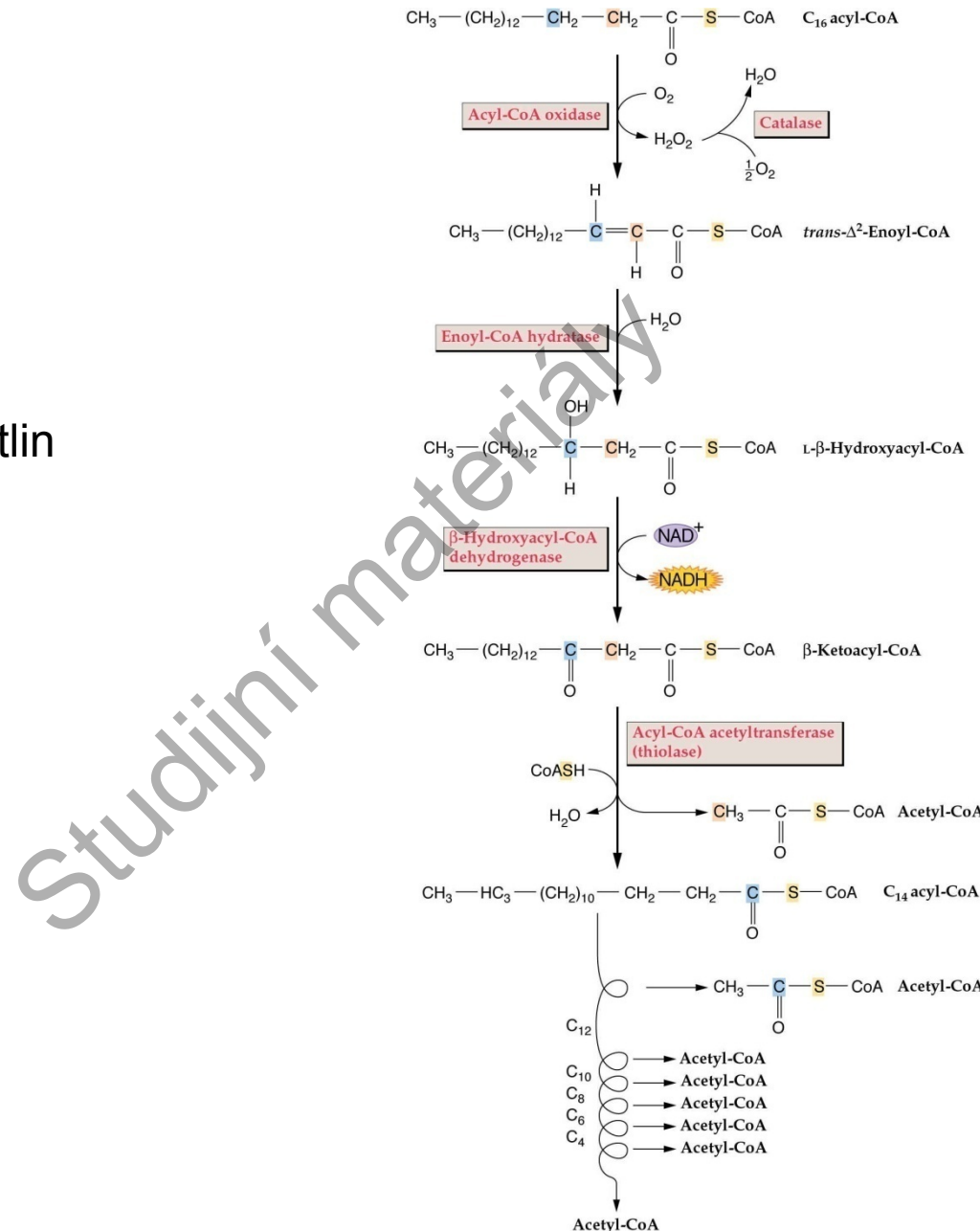
Fosfolipidy rostlinných membrán



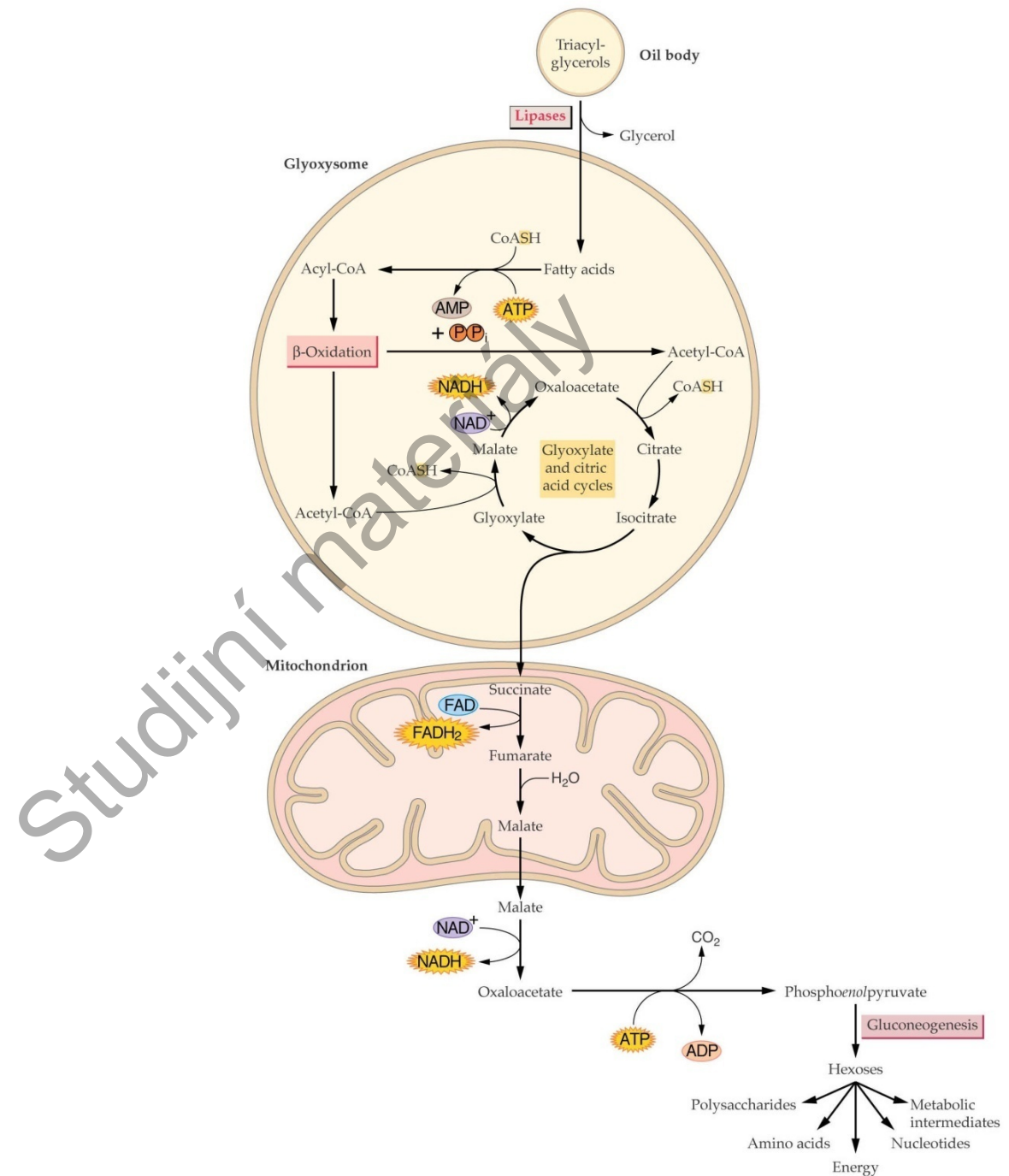
Oleosiny olejového tělíska



Degradace MK u rostlin



Glyoxylátový cyklus



Glyoxylátový cyklus

